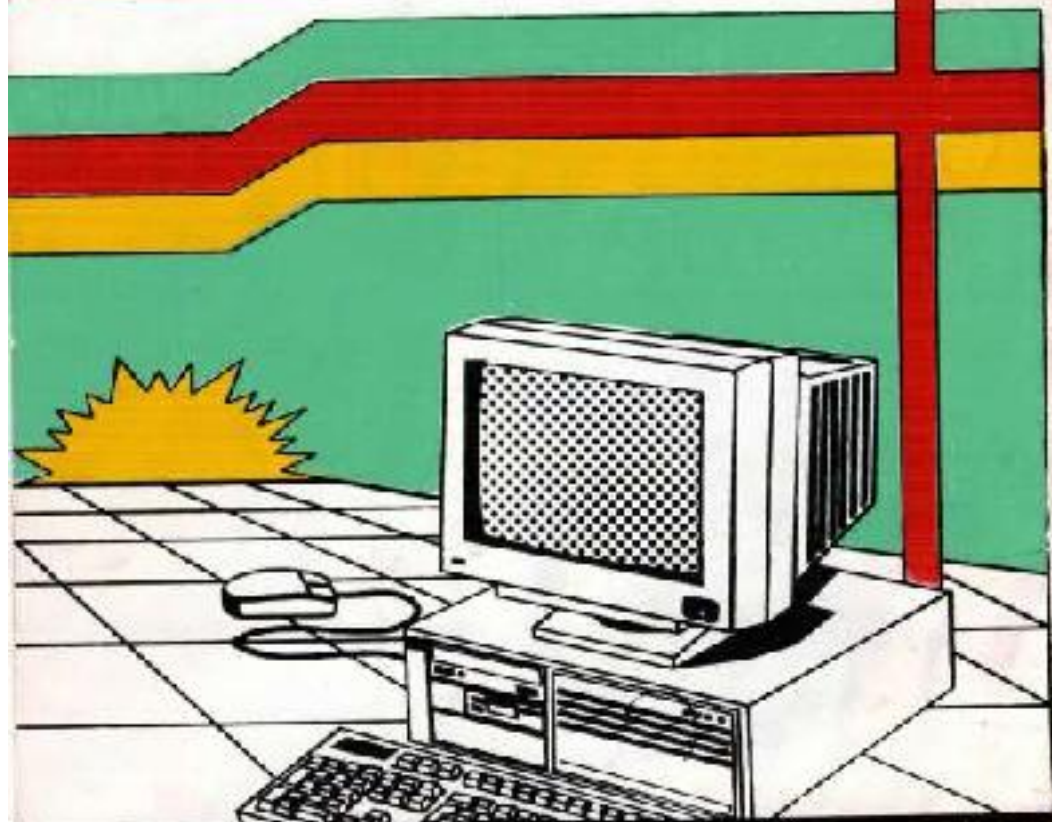




وزارة التعليم العالي والبحث العلمي  
المركز القومى للعاميات الالكترونية

# الحاسبات الالكترونية



مجلة علمية محكمة تعنى بعلوم الحاسوب الالكترونية

سنة ١٩٩٢

العدد ٣٧

بيان اكتوبر ١٩٩٢

مجلة علمية محكمة تعنى بعلوم الحاسوب الالكترونية

العدد ٣٧  
سنة ١٩٩٢

وزارة التعليم العالي وتحت إشراف  
المركز القومي للحسابات الإلكترونية

# الحاسبات الالكترونية

مجلة علمية محكمة تعنى بعلوم الحاسوب والالكترونيات

العدد السابع والثلاثون - ١٤٢٠ - ٢٠٠١

مجلة دورية يصدرها المركز القومي للحسابات الإلكترونية | ISSN ٢٠٠١/٣١ | الحاسوب  
الالكتروني | ٢٠٠١/٣١

تكون جميع المراسلات بعنوان: رئيس تحرير مجلة الحاسوب الالكترونية وزارة التعليم العالي والبحث العلمي قر. ٣٣٦١ - السعدون بغداد - العراق	<p><b>مجلة</b>  <b>الحاسبات</b>  <b>الالكترونية</b></p>	مجلة دورية العدد السادس والثلاثون السنة الثالثة والعشرون ٢٠٠٠
تصدر عن - وزارة التعليم العالي والبحث العلمي - المركز القومي للحاسبات الالكترونية		

### هيئة تحرير المجلة

رئيس التحرير:	د. نذال عمود الباراتي
نائب رئيس التحرير:	د. فهد جوامير الحديكي
مدير التحرير:	العميد فائز خليل عبد الله
هيئة التحرير:	الاستاذ اكرم محمد عثمان
د. عباس فاضل عبد القادر	
د. نذال محمد يوسف	
د. علاء حسين الحمامي	
د. زياد شاهزاد نعوم	
د. جين خليل استبيان	
د. هبة طافحة	
د. علي شهيل حسن	

رقم الرياحان في المكتبة الوطنية ٤-٣٠-١٩٧٧

**الاشتراكات السنوية:** داخل العراق: للدوائر والشركات: ١٠٠٠ دينار  
**خارج العراق:** للدوائر والشركات والاشخاص: ٣٥ دولار

طبعت في مكتب النسخ للتأشير والطباعة الالكترونية

## معلومات للزائرين في النشر

- تهدف المجلة إلى تعميق المعرفة بعلوم الحاسوب بين عاملين وهي توسيع النطاقات الجماهيرية وصولاً إلى جعلها مصداً علمياً متخصصاً في هذا المجال باللغة العربية وسوف يتطرق فقط في نشر المواد للقمة والمقيدة التي تتحدى لحد الأشكال التالية:
- البحث، التقرير، المقالة، المواد المترجمة.
  - وتحضير جميع المواد تنشر للتقدير من قبل الخصائص متارين وفق معايير حاسمة لمعرض ضمن رفع من النوعية. كما وتشير إلى أن المجلة سوفاً لا تنظر في نشر أي من المواد التي سبق نشرها أو التي تتنافر الشر في مطبوع آخر وتشريع المجلة مكتبة تجبيحة المواد التي تنشر، وتدرج آدلة تعليمات خاصة بطريقة وضع وعرض وتقديم المواد للنشر، ولحين من اعتمادها تسهيل النهاية.
  - ١- مشروع المادة: تقدم المادة باللغة العربية ثلاثة سبع مطبوعة على الله الطابعة حتى وجه واحد من لورق وباسطر متباينة، مع ترك مسافة كافية للهواش.
  - ٢- المحتوى: يكون ترتيب محتوى المادة على: ملحوظ التالي:
    - العنوان يليه لسم (أو أسماء) وعنوان (أو عناوين) الكتاب (أو الكتاب).
    - ملخص لا يزيد عن مائة كلمة يعطي فكرة موجزة عن الموضوع.
    - قائمة، صلب الموضوع، ثم خاتمة.
    - قائمة بالمرجع.
    - الرسوم والانتظامات والصور اللونية.  - ٣- المرجع: يشار إلى المرجع بارقام (مطبوعة على الطابعة) ويوضح كل مرجع في كتابة المراجع على النحو الآتي:
    - اسم كاتب المادة، عنوان المكان، المطبوع الذي تنشر فيه، سنة النشر، الصفحة.
    - المداول: تكتب المداول على الطابعة ويراعى أن تكون لها ارقام مسلسلة وعناوين وانضباطة وأن لا تكون تكرار ثباتات ظهرت في مكان آخر من المادة.
    - الرسومات: تقدم الرسومات الأصلية مرسومة بوضوح (ويفضل أن تكون بالخبر الصوالي على ورق شفاف)، ويراعى أن تكون لكل رسم عنوان وقى وبتفصيل، وإن تدرج كل الرموز المستعملة فيه.
    - صور اللونية: يفضل تقديم أكثر من سلة من صور اللونية المستخدمة في المادة (ان وجدت).
    - ٤- قعدلات: ترك مسافة قدرها ستيمتر على الأقل بين تعاملة وما يسبقها وطليها من معادلات أو كتابة، ويراعى تجنب انتهاك الحروف والأرقام التي قد يتسبّب الامر فيها.
    - ٥- برامج الحاسوب: إذا كانت الضرورة تتطلب تصميم برنامجاً فلابغي وضعها في ملحق إلا إذا كان ذلك للبرنامج أو البرنامج جزءاً رئيسياً من المادة و موضوعها.
    - ٦- الأرقام العربية: تستخدم الأرقام العربية الأصلية (١.٢.٣.٤...) في المقادير المقامة.
    - ٧- المصطلحات: يراعى استخدام المصطلحات العربية للمصطلحات الإنجليزية المستخدمة في كتابة المادة وذلك لن يضمن التوصل إلى اتفاق بين قومين في حالة اضطراره لاستعماله و عدم تمكنه من إيجاد بديل عربى.
    - ٨- التقديم: ترسن المواد على العنوان الثاني: رئيس تحرير مجلة الحاسنات الإكترينية، وزارة التعليم العالي والبحث العلمي، ص ٣٢٦١ السعنون، بغداد-جمهورية العراق، تلكر-٢١٢٦٦٢.

كلمة  
العدد

سنوات قليلة قادمة وينتفض قرن، ويأتي قرن جديد... وتحول منجزات هذا القرن الى القرن الحادي والعشرين وتطوّي مجلة المحاسبات الالكترونية السنة الـ ١٨ لـ العشرين على صدورها بقديمها العدد ٣٧.

والجملة في العقود السابقة تحت ذراعيها الكل المعين والمحчин في علوم المحاسبات الالكترونية، وتأشدهم تقديم ما لديهم من مواضيع بخصوص المجلة لفرض التشر. وكانت مسيرة المجلة مليئة بالعمل الجاد والشاق في تحفيز الباقين للمكتابية باللغة العربية لأهمية تعرّب هذا العلم الحديث ووضع بدایات ومبادرات جديدة لا يخلو من الاصلالة ولعدد كبير من البحوث في مجال تعرّب البرامجيات والمحاسبات الالكترونية بالإضافة إلى عدد كبير من التطبيقات وتطور الاستخدامات والأجهزة واستخدام المحاسبات في التعليم.

ونحن نتحفظ القرن العشرين شكر جميع المساهمين من باحثين ومتخصصين واعضاء هيئة التحرير على جهودهم وعملهم العلمي الجاد، كما نجدد طلبنا إلى الاخوة الباحثين والمحчин في مرقد المجلة بمواضيعهم لتعزيز مسيرة البحث العلمي العربي في مجال المحاسبات الالكترونية.

هيئة التحرير

## محتويات العدد

### ١- البحوث باللغة العربية

رقم الصفحة	المحتويات
٤	- أخلاقيات العمل في مجال نقلة المعلومات د. هلال عبد النبي البهائى
١٢	- ملقطومة للتحكم بوحدات للسيطرة موزعة على ساحة واسعة فلانز خليل عبد الواحد
٢١	- الارتباط بطريق المعلومات فلاق السرعة د. جعفر جوامن العنزي

### ٢- البحوث باللغة الإنجليزية

Contents	Page No.
- Nonlinear System Identification Using Neural Networks Dr. Wasim A.K. Al-Hamdan	3
- The Use of Polynomial Predictors in Image Coding Dr. R.S. Nacum Dr. Luay A. Jori Farah Y. Hameed	19
- A Genetic Algorithm Approach for Solving Flow Shop Problem Dr. R.S. Naoum Dr. Hisham Al-Rawi Buthynna F. Abid	36

#### **أخلاقيات العمل في مجال تغذية المعدّلات**

الدكتور هلال عبود نبي البياتي  
مدير عام المركز القومي للحسابات  
بغداد-العراق

البشرية، وفي المهن الفنية فن هذه الظاهرة تعتبر شيئاً جديداً.  
إن عدوة الاهتمام بالأخلاقيات وقواعد الأخلاقية وأيمان الأخلاقية، تشير المسؤول... ملذاً نحن بالأخلاقيات وملهي أحادي الواجب وضئلي؟!

## ٢- الأخلاقات ، النظمات الأخلاقية

يقول بعض الفقهاء بأن الأخلاق  
تشمل نوعاً من القواعد الفلسفية لاختيار  
المفاهيم العامة والنظريات المزودة للخير،  
ولوضع الأسس عقلانية لعمل الخير  
والحياة السعيدة. ويقول آخرون بأن  
الأخلاقيات، باعتبارها نظريات، تعطينا  
قواعد ومبادئ عامة لاستخدامها في  
القرارات المعنوية، وبعكس ارتكان  
الأخلاقية، فإنها توفر مبررات لتلك  
القواعد والمبادئ، فهي أكثر من تبيان  
ما هو الصحيح أو الخطأ. وعلى من  
يعتمدها أن يكون قادراً على الدفاع عنها  
وإيضاح أسباب اعتقادها. فالأخلاقيات إذن  
ذات طبيعة معاصرة.

ويمضي في عالمه، يمكن اعتبار  
الأخلاقيات من خلال نظرتين: نظرية  
الغاية (TELEOLOGICAL) أي كل  
شيء موجه نحو غاية من خلال ترابط  
متعدد، ونظريات الخاصة بالواجبات  
الأخلاقية (DEONTOLOGICAL) كما  
ويمكن اعتبار التمييز كما في الاختلاف  
بين الأخلاقيات التاريخية والأخلاقيات  
المتماثلة، فالنظرية الغافية ذات ارتباط

١ - المقدمة

في شباط ١٩٨٨ أصيب العاملون في مجال الحاسوب بدهشة كبيرة عندما قاما طلاب من جماعة مستردام في هولندا بتلية يسرين الالتزام بأخلاقيات العمل وتم نشر الميرور لذلك عندما حصل على شهادة الماجستير باعتبار ذلك اليدين يدين الأخلاقيات في علوم الحاسوب وذكر الطالبان في ذلك التقرير بأن المعلوم قد أثرت في السابق على خبراء الإنسانية بشكل كبير. وإن تقافية المعلومات لها نفس التأثير، فبنكوك المعلومات تحد من القرار الشخصي وعليه فإن نوعية الحياة قد أصبحت في خطر. فالطلابان ثارا بعض الاستغرارات الأخلاقية. هل لنا اعتبار بناء وبيع الأنظمة الخيرة أمرا مقبولا من كونها ذات تأثير على اتخاذ القرار؟ هل لنا أن نبرر العمل على أنظمة ذات تأثيرات سلبية على الإنسانية؟ إن الجواب على المسؤولين لا يتم من قبل الفتنين أو العلماء فقط. فهناك حاجة لجوانب أخلاقية جديدة وعليه فإن الطلاب قاما بوضع المبادئ الأخلاقية بصيغة يمين: ول يكن العمل في خدمة البشرية، ولكن للمرء حق اتخاذ القرار كمبدأ عام للدراسة والعمل.

إن لدى اليدين في حالات مهنية ليس بالأمر الجديد. ففي بعض المهن كالقضاء والطبط، هناك تقليد قديمة باداء اليمين. وأكثرها شهرة هو اليمين الذي يزدوجه الأطباء ين يكون عملهم بشرف ولخدمة

#### **٤- وظائف المعايير الأخلاقية**

ان وظائف المعايير الأخلاقية غير متناسقة، فالآدبيات المتعددة تنظر إلى تلك الوظائف بصورة مختلفة. فهناك شعور عام بين المعايير الأخلاقية لمهنة ما تعتبر مسؤولية العامل في تلك المهنة غير مقتصرة على المنتوج بل تعمداته لتشمل النتائج المترتبة على تسويق ذلك المنتوج. فأن مسؤولية العامل الفني لا تقتصر على الجوانب الفنية والاقتصادية بل تعمداتها إلى الجوانب الاجتماعية والت الثقافية. وهناك وظيفة أخرى للمعايير الأخلاقية يمكن اعتبارها تكميلية للأسباب القانونية والسياسية فالأخلاقيات ليست بديلاً للقانون ولكنها سند له. ويمكن اعتبار الأخلاقيات ضرورية قبيل وبعد أي تشريع. كما ان الاجراءات السياسية والقانونية تعتبر بطيئة بالمقارنة مع التطور السريع في ثقافة المعلومات.

اما الوظيفة الثالثة للمعايير الأخلاقية فتشتم بضرورة خلق الوعي الجماهيري حتى وإن لدى تلك الى منظارات متعددة. ان تحفيز الوعي يعتبر عالماً مهماً فـ مثل هذه المعايير اضافة الى تخويف المسؤوليات تثني الفعليات. فالمعلم والتقدمة أصبحت ذات اهتمامات مشتركة في معرفة نتائج اية فعالية، وعند الضرورة لإبد من عمل مشترك بالتنسيق مع المجتمع. وعليه فان اعلام المجتمع عن المعايير الأخلاقية يصبح امراً ضرورياً.

كما وتمثل الوظيفة الرابعة للمعايير الأخلاقية بـ وظائف الاجتماعية ذات العلاقة باسمجموعات ذات الفكر الواحدة. وعبارة اخرى هي المعايير التي قد تختلف فيما لو لم يكن لها علاقة باية مجموعة فكرية. وكذلك على ذلك وبما

المنطقى تعنى بالنظريات من خلال تتبع الاعمال فالصحيح والخطأ يحدد من تلك النتائج. فالسوكيه او المذهب النفسي تعتبر من الأمثلة على النظرية الغائبة لكونه يعتبر تحقيق اعظم الخير والسعادة لأكثر عدد من الناس يجب ان يكون هدف السلوك البشري، اي ان الاعمال تكون صالحة اذا كانت نافعة فالسعادة هي القصى ما يهدف اليه أي مخلوق. وكل عمل يقاس بنتائجة. لما النظرية الخاصة بالواجهات الادبية فـ اتها تركز على الشخصية ذاتها وليس على تأثيرها. فالصحيح والخطأ من أي عمل يعتمد على جوهر ذلك العمل. فإذا كانت الهدى الخاصة بذلك العمل ذات طبيعة يمكن تعريفها، عليه يكون العمل نافعاً. في حين الاعمال لـ ان تكون نافعة او مضرة دائماً مهما كانت نتائجها والامثل على ذلك كما في الصدق في القول ، وـ عدم القتل مهما كان الموقف. وـ وقع في سمسم هذه النظرية كون الفرد ذات قيمة ويجب ان يوازن ذلك في الحساب فالجنس البشري يختلف عن بقية المخلوقات بموهبة العقل والمنطق.

وهـ هناك نظرية ثالثة وهي نظرية الأخلاقية النسبية التي تذهب الى عدم وجود معايير أخلاقية عامة، فالخطأ والصواب يعتمد على الفروض والمناسبات والمواصفات والأشخاص والثقافات والمجتمعات. فـ تعدد الزوجات مقبول في بعض المجتمعات ومحرم في مجتمعات اخرى. كما وان المؤمنين بهذه النظرية يعتبرون مقياس الأخلاقيات متغير بتغير الزمن، فالخطأ في بعض الأزمان قد تغير صواباً في زمان اخر.

المجتمع، وضع المهلة أو العمل،  
والتوفيق بين الاجراءات المختلفة في  
البلدان المختلفة.

#### ٤- الخوارزميات المعايير الأخلاقية

هناك مجالات واسعة للحديث عن المعايير الأخلاقية وعن اسلوب وضعها موضع التنفيذ وتلخيص الاخبارات في الابحاث ذات العلاقة بما يلي:-

أ- صيغة المبادئ: وتكون كبيانات او مقالات يمكن اعتبارها لوحة من مؤشرات دولية او عالمية، او تكون كوثيقة مرجعية، او لتتوفر للقاعدة انتطاب ادعيات قانونية متخصصة.

**بـ- صيغة السياسيات:** وتكون كمُثِّرات لتصيرفات مقولية أو اساليب عمل أو مقاييس العلامة.

**جـ- صيغة تعليمات:** وتشمل هذه عادة  
أساليب عمل أخلاقية تركز عادة على  
العمل التصرفات والاتصال ونوعية  
الخدمة المقدمة.

٥- صيغة المؤشرات: ويمكن أن تكون قانونية ضمن تخصص محدد ويستخدم لتوفير توجيهات محددة يعلن قانونية وإن لم تكن قابلة للتنفيذ أو حسنة.

**فـ- صيغة الآدوات:** عادة تكون ملزمة، خاصة إذا كانت صيغة التصريح صحيدة القانونية وبشرط أن تكون المحاكم في مستوى فهم ما يطرح إمامها.

**٥- الحاجة إلى أخلاقيات لتنمية المعلومات**  
إن تنمية المعلومات ذات تأثير كبير على حياثنا اليومية، وهناك دراسات كثيرة حول تأثيراتها وما يترتب عليها. ولو نظرنا إليها بصورة شاملة فإن

يخص مجال تقانة المعلومات فهذه المعايير تمثل مشرفات لمصلحة أولئك المهتمين مهنياً بقانة المعلومات بهدف الوصول إلى مستوى رفيع من التصوف المهني. والمهني هنا هو الشخص ذو الكفاءة العالية والملتزم بمقاييس أخلاقية عالية عند تطبيق اختصاصاته. وهذا يشبه حماية المهن ومستوياتها في القرون الوسطى. كما وتتجدر الاشارة إلى أن هذه الوظيفة هي الأكثر تعرضًا لانتقاد باعتبارها ترتكز على مستوى المهنة أكثر من معيار للية المهندس، تحاه المحترم.

وفي مثل هذه الحالات تستغل المعاير الخطاء للتصرف غير المقبول وأحياناً تستغل الدفاع عن المنتجات ذات السمعة الـ *الـ زنـة*.

وهناك وظيفة اخيرة للمعايير الأخلاقية تختص بالنظمات ومؤسسات العالمية أو الدولية. فالمعايير الخاصة بالتصروفات يمكن أن تجتاز أو تنسق الاجراءات المختلفة المتعددة في عدد من المؤسسات أو البلدان. ففي العديد من البلدان تكون الاجراءات السياسية والقانونية ذات تأثير على اتجاهات ونشاطات قطاع المعلومات، ولكن الاساليب والسياسات تختلف عن بلد لآخر وليس فقط بالاختلافات الكبيرة بين البلدان المتنافعة والبلدان النامية. ففي بดآن اوروبا الغربية مثلا، تكون الاختلافات في المجالات المتخصصة مثل حماية الخصوصية كبيرة جدا لنرجة تصل الى ضرورات لوضع اجراءات اوربية شاملة لتوافق بين القوانين المعتمدة والمفترحة. وكخلصة للوظائف الخاصة بالمعايير الأخلاقية تكون قد ميزنا بين المسؤولية، مرونة الاجراءات المقرنة بالأمور القانونية والسياسية، تشتيط الواقع، فـ

التشريعات ونوات التفاصيل القانونية.  
ان تأثيرات ثقافة المعلومات الكبيرة جدا على كافة قطاعات المجتمع وخصوصا دور هذه الثقافة في الانظمة العسكرية قد ادت الى المطالبة في كافة الدراسات المتخصصة تقريباً للحد من والمسيطرة على الآثار السلبية لتلك الثقافة وفي كافة الحالات تقريباً أصبحت هناك حاجة لإجراءات ملائمة وقانونية للسيطرة على التحاجات السالبة لثقافة المعلومات، وإن للوائح الأخلاقية قليلاً ما تعتقد كسلوب لذلك.

كما ويدو بان المختصين بالحاسوب ومؤسساتهم وليسن علماء الاجتماع العاملين على التأثيرات الاجتماعية، هم الذين يطابون بمعايير متخصصة للأخلاقيات تلزم المهنيين او الفرد مؤسستهم وهذه الناظورة تعتبر كمؤشر ايجابي في مجتمعات تتجه نحو التكنولوجيا بمفهوم كون كافة المشاكل وحلولها قد أصبحت فنية فالفنى في مجال الحاسوب قد يبدأ بوعي حقيقة نتائج العمل الذي يقوم به، وإن المتخصص في مجال الحاسوب هو المقدر الوحيد على التحقق من ذلك حيث انه الوحيد الذي يتمكن من معرفة طبيعة منظومات الحواسيب الجديدة وعمق حمايتها الفنية وقابليتها للاستخدام او غير المرخص ومتقصد مستخدموها. وعلى ضوء ذلك ازدادت المطالبة للوائح أخلاقية.

#### ٦- اللوائح الأخلاقية

منذ ١٩٦٦ اتبعت منظمة (ACM) وهي كبريات المؤسسات في مجال ثقافة المعلومات في العالم، مجموعة من المؤشرات لترشيد التصرف المهني في مجال معالجة المعلومات. وسنرى بمرو

تأثيراتها تكون بمستويات عديدة، كالتأثير على مستوى المجتمعات وكالتأثير على مستوى المنظمات ومؤسسات، او كالتأثير على مستوى الفرد والحياة العائلية.

فعلى المستوى العام والتاثير على المجتمع، ونرى بان الخطوة في تزايد مستمر، حيث قد تسبب ثقافة المعلومات توجهها نحو مركزية السلطة، وقد تسبب توسيعات في الفجوة بين الاميين وال المتعلمين، وقد تسبب بخلق فجوة اكبر بين الدول المتقدمة والنمور النامية، وقد تخلق مشاكل قانونية جديدة كحقوق معددي البرامجيات وجرائم المعلوماتية.

اما على مستوى المنظمة او المؤسسة، فتأثيرات ثقافة المعلومات تتضح من خلال تأثيراتها على العلاقات الوظيفية ومؤهلات العمل، كما وانها تخلق مشاكل جديدة للامنية والتقنيات البيوكافية.

وعلى مستوى الفرد والحياة العائلية، فان تأثيرات ثقافة المعلومات تتمثل بالمخاطر على المسؤولية التي تتعذر من لکبر المشاكل المستقبلية في كافة المجتمعات التقنية. ومن المشاكل الأخرى اتساع الشعور بين الشعوب والحكومات واتساع الشعور بالضعف والاحباط لتجاه ثقافة المعلومات.

يقول الفهاء باننا بحاجة لأخلاقيات ثقافة المعلومات للامساك ادناه:-  
أ- ان ثقافة المعلومات اداة فائقة النورة ومستمرة التطور.

ب- ان ثقافة المعلومات تفتح كافة ما يتعلق بحياته.

ج- ان الاعتماد على ثقافة المعلومات يخلق مخاطر جمة.

د- ان تطور وزيادة استخدامات ثقافة المعلومات تجاوزت سرعتها كل

- زيادة مفانحة وكتامة وهيبة المهنة.
- ٣- على كل عضو أن يتحمل مسؤولية عمله.
  - ٤- على كل عضو أن يتحمل مسؤولية المهنة.
  - ٥- على كل عضو أن يستغل المعرفة والمهارات التي يمتلكها باتجاه الرقي في سعادة الإنسانية.

**بـ- لائحة (BCS) الجمعية البريطانية للحسابات الالكترونية:**

تأخذ هذه اللائحة مقاييس كفاعة الاداء والتصرف وأخلاقيات العمل في مجال الحسابات الالكترونية في المملكة المتحدة بنظر الاعتبار، وان محتويات اللائحة تتضمن:

- ١- السلوكية المهنية: على عضو الجمعية ان يتلزم بسلوكية تدعم منزلة وسمعة ورقة مهني المهنة.
- ٢- الاستقامة المهنية: على عضو الجمعية ان لا يعمل باسم اشخاص غير سليمة اي عمل قد يوقع اذى بسمعه او تجارة او توقعات عضو اخر في الجمعية، وعليه ان يعمل بكل استقامة لمصلحة المجتمع او اي فرد فيه والعاملين في المهن والحرف الاخرى المحتمل اتصاله بهم مهنيا.
- ٣- المصطلحة العامة: على عضو الجمعية عند اداء مسؤولياته للجهة التي يعمل لديها او الجهات المستفيدة منها ان يحترم ويكل امانة المصطلحة العاملة وحقوق الاطراف الثالثة، وعلى الاخص عليه ان يضمون ويصون الحقوق المعنوية ل الاخرين وان لا يلحق ضرراً بها.
- ٤- الاخلاص: على العضو ان ي يؤدي واجباته للجهة التي عمل بها او

الوقت مطالبات مستمرة للوائح أخلاقية من قبل كافة شرائح المجتمعات، خاصة في المجالات التي تظهر نتائج العمل فيها الى تعوان. وفي الوقت الحاضر هناك لوائح أخلاقية لمجلس المهنيين المتخصصين (على الارصاد، الصحفيين الباحثين العلميين) ولبعض المؤسسات المهنية (BCS, ACM) وكذلك بعض الشرائح الدولية. ومع ان الادهاف والتوظائف للوائح عادة ما تكون متشابهه، الا ان الفحوى والتتفاصيل مختلف كثيرا. في بعض الوائح مفصلة جداً، وبعضها مدروسة بصورة عمومية، وبعضها معد من قبل المهنيين انفسهم (كون متجرزاً)، وهناك لوائح معندة بالتبسيط مع المستخدمين والمنظفات الشعبية. كما وان بعض اللوائح تتضمن فقرات واضحة للعقوبات والتزوياغ ، في حين ان البعض لا يشير الى الترامات. وعلى العموم فان مضمونين اللوائح تتأثر بصورة كبيرة بطبيعة وحجم المنظمة او المؤسسة. فان كانت المؤسسة صغيرة ومتجاذبة تكون اللوائح محددة التفاصيل.اما اذا كانت المؤسسة كبيرة ومحفدة الهيكلية، ف تكون للوائح عمومية في سماتها.

ومندرج في الاننى امثلة لبعض اللوائح الأخلاقية لفئة المعلومات:-

- أ- لائحة (ACM) الجمعية الامريكية لاجهزة معالجة المعلومات: وتضع هذه اللائحة مبادئ عامة لأخلاقيات مهنية وقواعد ملزمة لكل عضو في الجمعية.
  - ١- على كل عضو ان يعمل بشرف واستقامة وبكل الاوقات.
  - ٢- على كل عضو ان يعمل على

#### **جـ- الأخـلـاقـاتـ الـقـانـونـيـةـ**

- قانون حقوق المعلومة.
  - القانون الدولي العام.
  - القانون الدولي للاتصالات.
  - القانون الدولي الجنائي.
  - أخلاقيات السياسة العامة الدولية
  - حرية الاتصالات.
  - الخصوصية واحترام الأفراد.
  - انسانية نظم المعلومات.
  - محو الأمية دولياً في مجال المعلوماتية.
  - العدالة في إتاحة الفرصة في خدمات المعلومات.
  - التكافل والحياة وحرية الاختيار.

- ٨ -

لقد شاع مؤخراً موضوع استئناف البرمجيات من قبل الأشخاص والمكاتب وتناول النسخ البرمجية بسعار بخسة أو منخفضة مما اضطر بالأشخاص والمكاتب والشركات لجد وسائل عديدة للحفاظ وحماية منتجاتهم البرمجية من النسخ أو السرقة، ومن هذه الطرق وضع مفاتيح معقدة ومختلطة أو استخدام أسلوب زرع الفايروسات التي تنشط في البرامجيات المستنسخة كما حدث مؤخراً في ظهور فايروس شرونوبيل في نظام ويندوز ٩٨.

ولا تؤدي ان تنتهي بان سرقة البرامج و  
عن طريق الاستنساخ يعترض على غير  
اخلاقيا ينظر بالصالح الشخصية للملائكة  
او المنتجين وهذا سعمل الاخلاقي يجب ان  
يقليل باجراءات قانونية لحماية حقوق  
الملكية الفردية ولمنع الضرر الذي يحصل  
بعق المنتجين لاد ان يكون هناك نوعين  
من الاجراءات الاولى كمصادقة دبلوم

زياراتها بخلاص تام، وعليه ان لا يروح بایة معلومات سرية ذات علاقة بعما.

٥- الكفاءة الفنية: على حضور الجمعية ان يقتصر خدماته على تلك التي هو متاكد من كفايتها بها وتقع ضمن مؤهلاته العلمية، وعليه اعلام الجهات التي تستدعيه او ترشب بخدماته عن مستوى قابلاته الفنية ذات العلاقة بالخدمات المطلوبة.

٦- النزاهة وعدم التحيز والتجدد: على عضو الجمعية اشعار الجهة التي تستخدمه، تحريراً، عن آية مصالح شخصية له قد تؤثر على نزاهة الاستئناف التي يقتضيها والتي قد تتحقق بمحاجتها.

#### **٧- مسودة لائحة للأخلاقيات المقررة من قبل الاتحاد الدولي لمعالجة**

البعضيات (FIP) ١٩٩٠

## أ- الأخلاقات المهنية الشخصية

- المسئولة الاجتماعية.
  - حماية الخصوصية.
  - الاستدامة الشخصية.
  - الكفاءة المعنوية.

**د - المسؤولة الشخصية.**

**ب - الأخلاقيات الخاصة بالمنظفات**

**ج - المنஸّمات الذوّلية**

- ١- مقياس الاداء العالمية.
  - ٢- المقاييس والموازنات الدولية.
  - ٣- الحماية القانونية الدولية.
  - ٤- انتاجية العلميين وتنوعية ظروف العمل.
  - ٥- مشاركة الجهات المسئولة.

- العروبة تكون على مستوىين.
- ١- المستوى الشخصي: حيث لا بد من أن يتعهد العاملون في مجال تفاصيل المعلومات سواء كانوا من منتسبي الدولة أو في القطاع الخاص بما يلي:
  - ٢- مستوى المكاتب والشركات: حيث إن ترسعها والتشارها السريعين في السنين الأخيرة يتوجب:
    - حصر الجهات المانحة لمواضيعات نفع المكاتب والشركات في مجال تفاصيل المعلومات، تكون لدى جهة مهنية مسؤولة بذلك من تعدد تلك الجهات في الوقت الحاضر: وزارة التربية، وزارة التجارة، جمعية علوم الحاسوب ... ولكن يكون البت في موضوع المكتب أو الشركة ذات اسس علمية موضوعية مهنية محددة ومقررة تأخذ بنظر الاعتبار الأخلاقيات المهنية المطلوبة.
    - تعهد المكاتب والشركات قبل الحصول على الترخيص بالعمل باتفاقية لأخلاقيات المهنية كما في النقاط الواردة في المستوي الشخصي.
    - أن تكون المكاتب والشركات مسؤولة عن نتائج الأفعال التي تقوم بها والمواد والتقنيات المسروقة من قبلها ضمن تعهد عند طلب الترخيص وعدم افتخار ذلك على الاموال التجارية المتبقية.
    - ب- رفع مضمون التوصية (( )) اعلاه إلى الجهات المختصة لدراسة ملائكيتها الالتزام القانوني للمتعهد شخصاً كان أو مكاناً أو شركة.

واثنان ان تشرع الدول برادع قانوني ينص على العمل من الجرائم المعلوماتية المسانية التي يعقب عليها القانون.

ولا بد لنا الاشارة الى انواع أخرى من الشاكل في خرق أخلاقيات المهنة هي عند قيام بعض المختصين في مجال تفاصيل المعلومات على التصرف بالمعلومات والمعرفة التي لديهم عند تركهم العمل لدى المكتب او الشركة التي يعملون بها او ان يقوم الشخص بتترك الشركة التي يعمل لها ويذهب للعمل لذاته او لشركة أخرى ويتنقل من الناح في دور التطوير من خلال نقل كل ما حصل عليه من عمله او شركته السابقة الى جهة أخرى او بالأساس حجب تسليم ما لديه الى الشركة السابقة التي يعمل لديها.

هناك امثلة كثيرة بالإضافة الى ما ورد اعلاه تتمثل خرق فاضح للملكية الفردية وعمل لا يتصف بالأخلاقيات المهنية.

#### ٩- الاستنتاجات

- أ- هناك ضرورة لوضع صيغة مقبولة للوائح أخلاقية وطنية في مجالات العمل في تفاصيل المعلومات.
- ب- ان مقترن الاتحاد الدولي لمعاملة المعلومات يعتد ذا فائدة كمنطلق لوضع لائحة وطنية، مع ضرورة مراعاة كون المقترن ذا صيغة تستوجب التغيير باتجاهات الوائح الوطنية.
- ج- ان الالتزام القانوني بمحسوبي لوائح الأخلاقيات المهنية يستوجب دراسة مشتركة بين المختصين والقانونيين وعلماء الاجتماع.

#### ١٠- التوصيات

- أ- ضرورة وضع لائحة لأخلاقيات العمل في مجال تفاصيل المعلومات في الدول

## منظومة للتحكم بوحدات للسيطرة موزعة على مساحة واسعة

فائز خليل عبد الأسد  
المركز القومي للحاسبات الإلكترونية

### الخلاصة:

ان ظهور تقنية *UVLSI* وتطور  
الحاسبات للسيميكرو جعل التصنيع  
الإلكتروني لهند كثيف من الأجهزة مكنا  
من الناحية الاقتصادية علامة على ما  
توليه هذه الأجهزة من تمهيل لتنفيذ  
المهام المطلقة بها وما تتميز به من دقة  
علية في إنجاز هذه المهام.  
ولم يقتصر هذا البحث على تصميم وبناء  
منظومة موزعة على مساحة واسعة من  
السيطرات الموزعة على مساحة واسعة  
*IBM* وأعتمد على حاسبة متولفة مع  
لإدارة المنظومة. وقد استخدمت  
المنظومة للسيطرة على مجموعة كبيرة  
من الداععات لأجهزة التبريد والتكييف.

**منظومة للتحكم بوحدات للسيطرة  
موزعة على مساحة واسعة**  
يهدف مشروع البحث هذا الى تصميم  
وبناء منظومة للسيطرة على دفعات  
للهواء خالصة بمنظومة التكثيف ويتم في  
هذه المنظومة توجيه وحدات للسيطرة  
الإلكترونية موزعة على مساحة واسعة  
باستخدام حاسبة شخصية متولفة مع  
حاسوبات *IBM*.

شهدت الصناعة الإلكترونية منذ  
مئتي القرن ثلاث ثورات حيث  
كان لكل منها تأثيراً بالغاً على التطبيقات  
الصناعية والعلمية وعلى المجتمع بشكل  
حاد. وقد تمتلت هذه الثورات في اكتساب  
الحاسوب المفرغ وتطوير الترانزistor  
وأخيراً في مجال تقنية *SSI*. وقد أدى  
التطور في التقنية الأخيرة إلى ظهور  
*VLSI* و *UVLSI* حيث نتج عنها ما  
يلي:

- \* تنمية المكونات الإلكترونية.
- \* تطوير أسلوب المنظومات التالوية في  
عملية التصميم الإلكتروني.
- هذه النتائج بحقيقة الأمر متربطة مع  
بعضها حيث إن التنمية أدت إلى تطوير  
رقمي المنظومات التالوية، التي كانت  
صيغات كانت تتطلب في السابق أعداد  
هائلة من الترانزistorات والمقاومات  
وال Resistors. ويمكن اعتبار المنظومات  
التالوية المكونات الأساسية في بناء  
المنظومة حيث يمكن من خلال جمعها  
ومجملتها تكون المنظومة، وكثافتها  
على تلك رقائق الحاسبات الميكروية

- تصميم وبناء وحدة السيطرة على دافعات الهواء.
  - تصميم البرامجيات اللازمة لغرض الاتصال بين الحاسب الشخصية ووحدات السيطرة الالكترونية.
  - تصميم البرامجيات اللازمة لتوجيه وحدات السيطرة.
  - تصميم البرامجيات اللازمة لتحليل المعلومات المستلمة من وحدات السيطرة وإظهار النتائج على الشاشة والتبيه إلى العطل في حالة وجوده.
  - تصميم البرامجيات التي تساعد المشغل في استخدام المنظومة والقى في اصلاحها.
- سيتم في الأجزاء اللاحقة من هذه الورقة تقديم عرض للمكونات المادية والبرمجية لهذه المنظومة.

### **تصميم منظومة التحكم**

صممت منظومة التحكم لتجسس الخصائص المثار إليها في أعلاه وباستخدام الأجهزة المتوفرة. فقد تمت الاستعلنة بحاسبة شخصية متواقة IBM لمراقبة وتوجيه وحدات السيطرة التي ربطت معها بواسطة قناة اتصال تسلسليّة. لن استخدام الحاسبة الشخصية لقيادة المنظومة لذى الى الحصول على الخصائص التالية:

- 8 MB لادعم برامجيات التشغيل وتوفير وسط ذخزن كافى لها.
- وجود أثراص ممعنطة وصلبة للذخزن الدائم لبرام吉ات التشغيل.
- جهاز مرئية (Monitor) لوفرد وسيلة اتصال بين المشرف والمنظومة.
- نوحة مفاتيح ASCII لإدخال البيانات، ولغرض جعل استخدام الحاسبة ممكناً

ومنها: INTEL 8751, MOTOROLA 6809 حيث تتمثل كل منها حاسبة كائنة على رقيقة واحدة.

في هذا المشروع، افترض ان المنظومة تحت التصميم يجب ان تكون المطلوبات التالية:

- \* تتواجد دافعات الهواء في موقع بعيد عن مبنى الصيادة الأمر الذي يؤدي إلى مصاعب في عملية تشغيل هذه الدافعات وتوفير المراقبة الآتية لها، لذا يتفرض في المنظومة المصممة تسهيل هذه المهام وذلك بإيجازها من مبنى الصيادة الرئيسي.
  - \* ان تكون المنظومة المصممة قابلة لتوسيع مهامها مستقبلاً بدون آية صعوبات تعيق تحقيق هذا الهدف لتضمن مهام أخرى كاطفاء دافعات الهواء عند حصول حريق أو المراقبة الأمنية للموقع وغيرها.
  - \* يراعى في تصميم المنظومة ان تكون عملية صيانتها سهلة وسريعة.
  - بناءاً على ما نقدم يجب أن تؤدي وحدات الصيادة للمهام التالية:
    - ١- القدرة على تلقى الأوامر من مبني الصيادة البعيد وتتنفيذها.
    - ٢- تشغيل دافعات الهواء وفق الأسلوب المقرر لذلك.
    - ٣- مراقبة عمل دافعات الهواء والإبلاغ عن حالة حصول عطل عند حدوثها.
    - ٤- مراقبة وقياس درجة حرارة هواء الدافع.
- وليس ببعض الأمكن إنجاز مهام التشغيل والمراقبة من المركز الرئيسي للصيادة مكتنباً تطلب الأمر توفير ما يلى:
- ١- حاسبة شخصية متواقة مع IBM.

بعد Remote أو ان تعمل على السيطرة في الموقع وتدعى السيطرة الموقعة Locale . ويتم للجوء الى الحالة الأخيرة عند اجراء أعمال تصيالية عادة. كذلك نلاحظ درجة الحرارة لهواء الدافعة

توضع تحت الحقل Temp.

اما الجزء الثاني فقد استخدم تعرض البيانات المدخلة من قبل المشغل وتفاصيل رسائل الخطأ. وللاظهار في وسط الشاشة خطأ فاصلاً بين جزءه الأعلى والأدنى يتوضّط عرض الوقت وتاريخ اليوم. اما المطرفي في لسفل الشاشة فنلاحظ فيه مجموعة الخيارات الازمة للتشغيل، لتشغيل المنظومة يجب اجراء ما يلي:

ا- الضغط على المفتاح Setup (F3) لادخال المعلومات الخاصة بتشغيل الدافعة الهوائية حيث تظهر الشاشة المبينة في الشكل (٣) وتحتوي هذه الواجهة على عدد من الخيارات والتي تحقق عند الضغط على مفاتيحة الأمر المقابلة لها اتجاه عدد من المهام.

المفتاح F1 لتحميل ملف تشغيل دافعة الهوائية، اما المفتاح F2 لتخزين ملف تشغيل الدافعة، والمفتاح F3 يستخدم لادخال المعلومات الازمة لتشغيل الدافعة وذلك من خلال الاتجاهات على عدد من الامثلة وكما مبين في الشكل.

ب- الضغط على المفتاح Startup (F6) يرادي الضغط على المفتاح الى توجيه الدافعات للتوقف او الاشتغال وفي المرة المفروضة في حالة عدم تحقق الاتصال او استلام الرسالة بصورة خاصة، تظهر رسالة خطا

لاغراض التوجيه والسيطرة فقد تم تصميم البرامجيات الازمة لاتصالات والبرمجيات الازمة لتحول البيانات المستلمة من وحدات السيطرة وعرضها على الشاشة.

بالاضافة الى ذلك تم اختيار الحاسبة الماكروية 8751 لكون المركبة الأساسية في وحدات السيطرة وذلك لأن Instruction Set ومعمارية هذه الحاسبة مصممة بشكل قيوده في التطبيقات الصناعية. هذه الأجهزة توفر فيها وعلى الرقيقة ذاكرة وصول عشوائي مقدارها 128 Byte وذاكرة متزنة فقط بمقدار 4KB لخزن برامجيات التشغيل. كما يتوفّر فيها قناة اتصال تسلسلية الأمر الذي مساعد كثيراً في تسهيل عملية ربطها مع الحاسبة الشخصية.

تم تصميم البرمجيات التي يمكن وحدة السيطرة من تحقيق الاتصال مع الحاسبة الشخصية وكذلك البرمجيات المطلوبة لإنجاز مهامها.

#### برامحات إدارة المنظومة

يوضح الشكل (٢) الواجهة الرئيسية للمنظومة وكما تظهر على شاشة العرض الحاسبة الشخصية عند التشغيل. كما مبين في الشكل، الواجهة مصممة الى جزئين. الجزء الأعلى لعرض نتائج تحليل البيانات المستلمة من وحدة السيطرات، حيث يتطلب ذلك تحديد رقم لدافعة الهواء يوضع في المفتاح المعون AHU وتحديده سريعاً لتشغيل مروحة الدافعة حيث توجد احتمالية ان تكون المروحة High او Low . كما توجد صيغتين لرس دافعة الهواء، السيطرة على الدافعة مستخدمة الحاسبة الشخصية وتدعى المبكرة عن

ممكنة وأعلى ممكنتها للتشويش من الجانب الآخر. تتولى وحدة السيطرة التحكم بعدد من دافعات الهواء ونقل حالة الدافعات إلى المركز. وفيما يلى شرح للكيان المادي والبرمجي لوحدة السيطرة:

#### ١- الكيان المادي

يبين الشكل (١) دائرة تحلية المايكروية. ويبين الشكل (٥) دائرة вход والإخراج. تتألف وحدة السيطرة من لوحة الحاسوب المايكروية بالإضافة إلى عدد من لوائح الإنصال والإخراج وذلك لجعل الكافية الاقتصادية أقل مما يمكن وإعطاء إمكانية مستقبلية للتتوسيع. لدى وحدة السيطرة عنوان يحدد من خلال وضع DIP SWITCHES الناتمة مع Port ١ للحاسوب المايكروية. كما نلاحظ أن TX و RX ترتبط مع Line driver (75176) chip. ويحصل هذا التردد مع لوائح الإنصال والإخراج باستخدام عدد من Decoders و Data bus يوصلها الرقيقة 74245. ويستخدم LED1 للإشارة إلى أن الحاسوب المايكروية تعمل أما LED2 و LED3 للإشارة إلى عمل المرسل والمسلك. وبخصوص لوحة الإنصال والإخراج فلاحظ استخدام الرقيقة 74273 تحكم ببراعة المرواغ وبحالة فتحة Actuator للحصول على تغير سريع بدرجات الحرارة، ويتم ذلك عن طريق تغيير حالة ١ Relay إلى ٤ و للتصرف على حالة الدافعات فقد تم استخدام ترقيقة 74373 حيث تنتقل حالة الدافعات إلى مدخل هذه الرقيقة عن طريق Optocouplers وذلك لتحقيق عزل كامل للوح الإنصال والإخراج عن

#### NO COM

ج- الضغط على المقابح Monitor (F4) يؤدي الضغط على هذا المقابح إلى مراقبة عمل دافعات الهواء. حيث يقوم باستلام البيانات المتعلقة بحالات الدافعات من وحدات السيطرة ومن ثم تحليلها وعرض النتائج على الشاشة. وفي حالة وجود خطأ ما تظهر رسالة في الجزء الأسفل من الواجهة لاصطاء التفاصيل. ويمكن الاستعمال بال الخيار Operator لغرض توجيه أمر إلى وحدة السيطرة المعنية لإصدار أمر إلى Actuator لتوصيم فتحة مرور الهواء بغية الحصول على تغير سريع بدرجة الحرارة. كما يمكن العودة إلى الوضع الطبيعي بالاستناد إلى الخيار Auto.

ح- الضغط على المقابح (F1) يؤدي إلى تقديم شرح مفصل عن كيفية تشغيل المنظومة وعرض لجوائب المقابة للمنظومة تسهيل أعمال الصيانة.

#### وحدات السيطرة المصممة

ترتبط الحاسوبية الشخصية مع وحدات السيطرة عن طريق القناة التسلسلية RS-232 الموجودة عادة في الحاسوب المتواقة مع IBM. ولكن هذا النوع من القنوات التسلسلية تستخدم عادة في الاتصالات من نوع Point to point بينما المطلوب اتصال من نوع Multipoint. لذا تم تصميم وبناء دائرة تفريغ بالتحول من النوع الأول إلى النوع الثاني وكما مبين في الشكل (١). أن سرعة نقل البيانات المختار 110 bit/sec وذلك لأن هذه السرعة كافية من جانب ولمغرض الحصول على بعد مسافة

- \* التحكم بفتحة Actuator لإجراء تبديل سريع بدرجة الحرارة.
- \* برامجيات متعدلة بضيائة الوحدة.

#### **الاستنتاجات ، العمل المستقبلي**

في هذا البحث تم تصميم وبناء منظومة تتألف من مجموعة من المسيطرات الموزعة على ساحة واسعة وأعتقد على حاسبة شخصية متولدة مع IBM لادارة هذه المنظومة. وتمت الاستفادة من الكلة التسلسنية RS-232 للاتصال بين الحاسبة الشخصية والسيطرات، ان ذلك يوفر مرونة إمكانية استخدام أية حاسبة متوفرة لملازمة تصميمها العمومي مع هذا النطاق من التطبيقات. ساعدت المنظومة المصممة على التخفيف كثيراً من الجهد اللازم لتشغيل ومرأقبة الدافعات وقللت من الزمن اللازم لاكتشاف العطلات وسرعة الاصلاح.

بالرغم مما تقدم فإن هناك الكثير الذي يمكن عمله مستقبلاً إلا أنه يمكن أن يجري التركيز التطوير بالاتجاهات التالية:

- \* تطوير برامجيات إدارة المنظومة لعمل تحت نظام التشغيل Windows بدلاً من MSDOS.
- \* الأمر الذي سيجعل التفاعل بين الحاسبة والمشغل أكثر عمقاً وتلثراً.
- \* أن السرعة الحالية لتداول البيانات باسرع من 110 bit/sec وبالرغم من كونها تفي بالغرض حالياً إلا أنه يمكن زيادة هذه السرعة لتوسيع مدى التطبيقات.
- \* تحسين مستوى الأداء للكلة الكمية والرقمية وذلك باتجاه استخدام دوائر مجمعة متخصصة لعمليات جمع البيانات الأمر الذي سيؤدي إلى

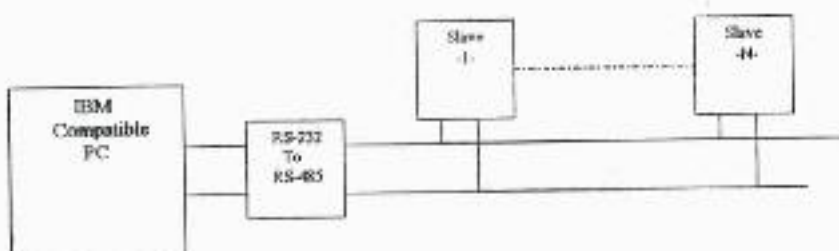
الدافعة LED4 إلى LED4 تستخد لايضاح خطوات تنفيذ تشغيل الدافعة. LED5 إلى LED9 تستخد لايضاح حالة دافعة الهواء، وتلخصون على درجة حرارة الهواء الدافعة تم تصميم قلة كمية لهذا الغرض واستخدمت الرقاقة AD573 لتحويل القيم الكمية الى رقمية.

**بـ- الكيان البرامجي**  
روحي في تصميم الكيان البرامجي الاستفادة من كلية الامكانات التي يمنحها Instruction set 8751 بغية الحصول على برامج بكفاءة عالية. وفي عملية التصميم، تم تجزئة الكيان البرامجي إلى عدد من الكيانات التي تمتلك أعلى ما يمكن من الاستقلال عن بعضها لتحقيق الهدف المتمثل بملائكة التوسيع المستقبلي للمنظومة بعمليونة.

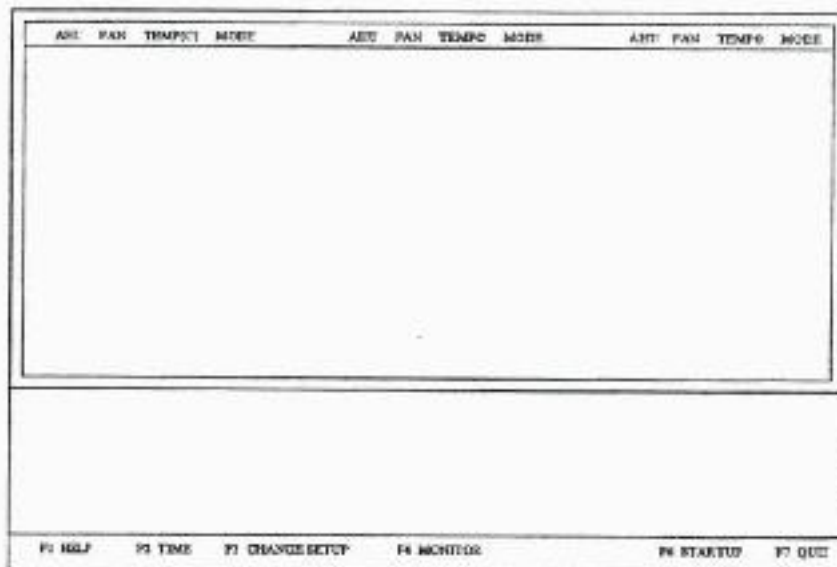
تولى برامجيات الحاسبة الشخصية قيادة المنظومة حيث ترسل الأوامر إلى كافة وحدات السيطرة، يحتوي الأمر على عنوان الوحدة الموجه إليها. فإذا كانت الوحدة المعنية في حالة عمل فأنها تستجيب بتعريف نفسها إلى القيادة، عكس ذلك تغير الوحدة عاطة لو متوقفة عن العمل. بعدها تبدأ الوحدة المعنية تنفيذ الأمر وارسال المعلومات إلى القيادة إن تطلب الأمر ذلك، وتقوم وحدة المسيرة بما يلى:

- \* إنهض المنظومة عندما يتطلب الأمر ذلك.
- \* مراعية دفعات الهواء وإبلاغ القيادة عند حصول عطل وإرسال معلومات عنه.
- \* مراعية درجة حرارة هواء الدافعة وإرسال قيمتها إلى القيادة.

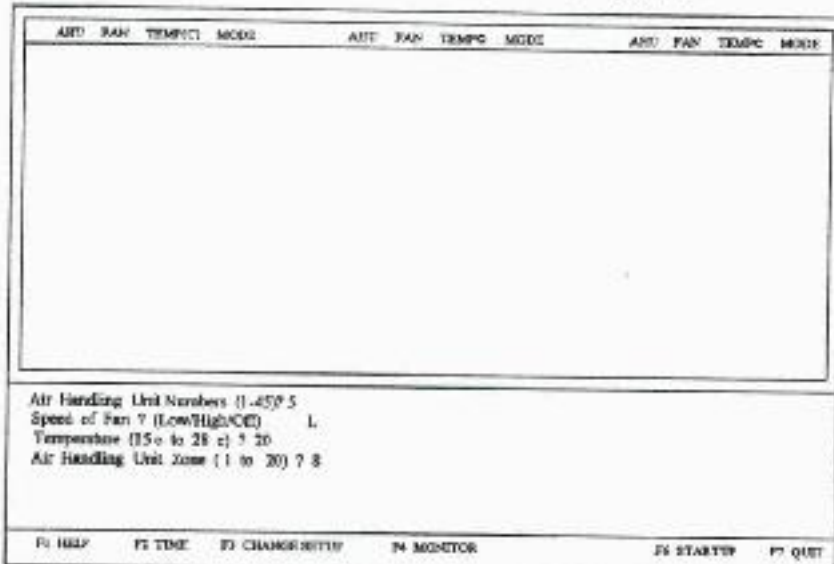
- Hill reprint 1997.
- Kenigham, B.W.; The C Programming Language, Prentice-Hall of India, New Delhi 1995.
- Thorne, M.; Programming the 8086/8088 for the IBM PC and Compatibles, The Benjamin / Cummings Publishing Company Inc.
- Costanzo, M.; Programmable Logic Controllers, Arnold, 1997.
- تقديم الكيان للملاي وتقدير الكفاءة الاقتصادية وتحقيق إمكانية استخدامه في مدى واسع من التطبيقات الصناعية.
- المصادر
- Otter, J.D; Programmable Logic Controllers, Prentice Hall, Englewood Cliffs, New Jersey, 1988.
- Pappas, C.H., Murray, W.H.; The Visual C++ Handbook, McGraw



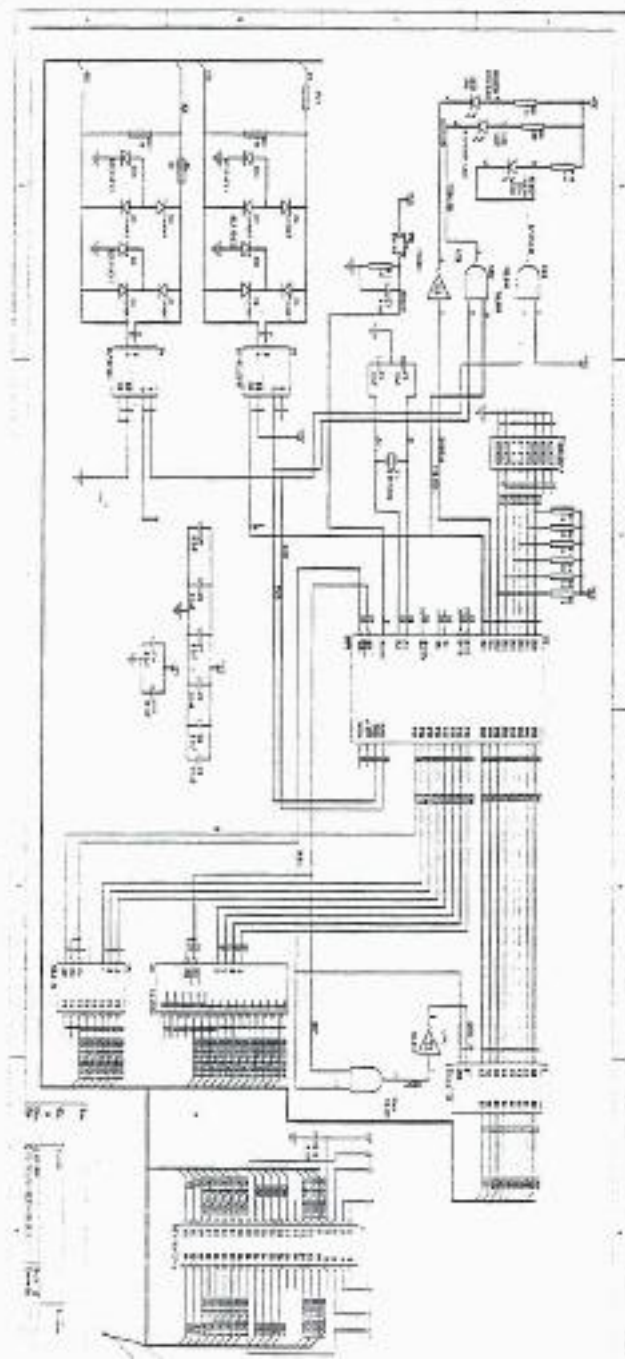
شكل (١): مخطط لمنظومة التحكم المصممة.



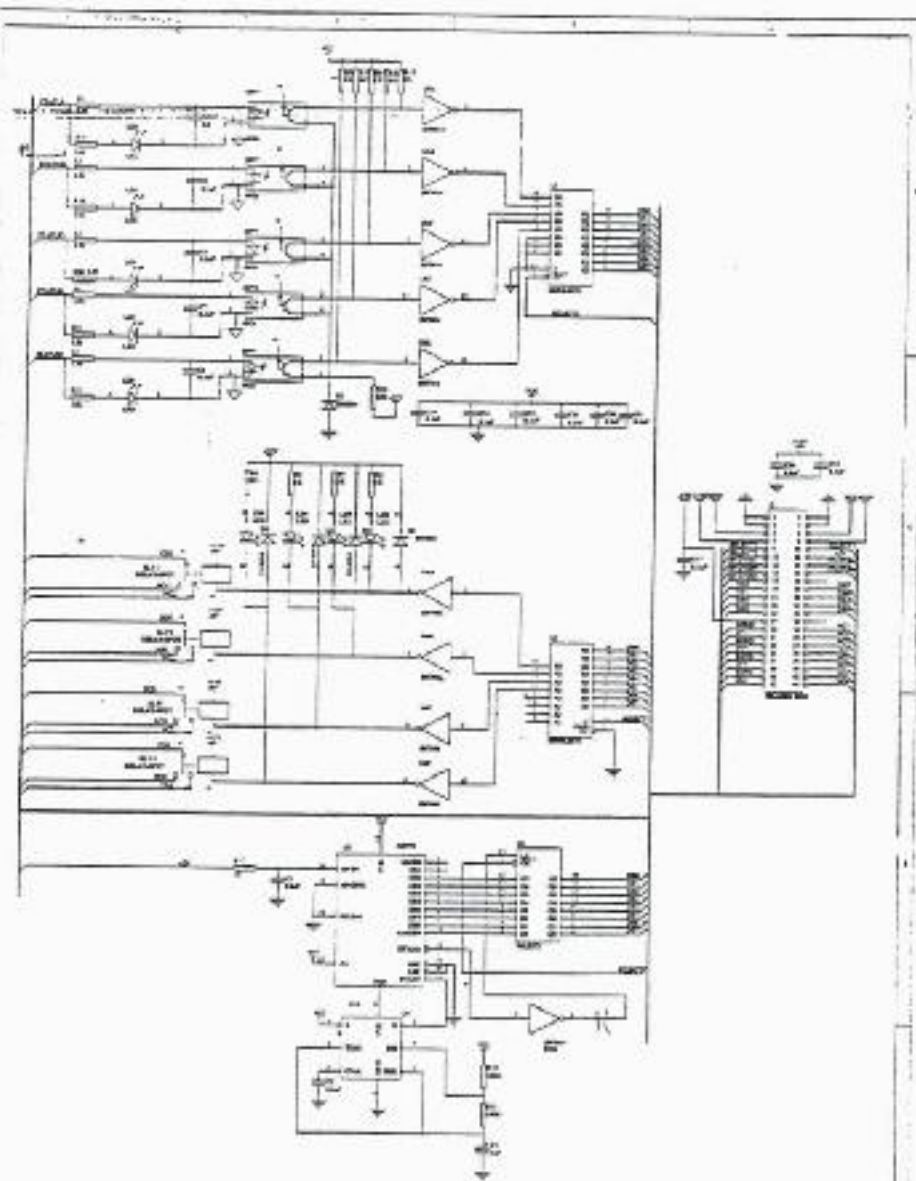
شكل رقم (٢) : الواجهة الرئيسية لبرامجهن إدارة المنظومة.



شكل رقم (٣) : واجهة غيار Setup.



شكل رقم (٤): الحاسبة الميكروية



شكل رقم (٥): دائرة الإدخال والخروج.

## الارتباط بطريق المعلومات فائق السرعة

د. جابر جوامير الحديشي  
عبد معهد للدراسات العليا للحاسب والمعلوماتية

### المقدمة

زالت سرعة الوصول (ACCESS) في شبكة الانترنت بشكل ملحوظ في العشرين الاخرتين من هذا العقد. شمل التطور المعمود الفوري للانترنت بحيث تستطيع معلمة معدل تراسل بوايات يساوي مليارات البات في الثانية الواحدة، وبدأ المستخدمون بالاحظون نموا سريعة للمعالجة في حواسيبهم بشكل متزايد.

مع ذلك ان عملية "نصف" آخر ميل من طريق المعلومات المرريع بين مركز المعالجة الرئيسية والمعين او المكتب قد تطور بشكل اكثر بطيئاً.

ان سرعة تزويد موبد الهاتف والتي تغطي اخر ميل قد زادت من (2.4 Kbps) الى (56 Kbps) خلال العقد السبعينات. بالرغم من ذلك، هذا لا يعني الكفاية بالنسبة للمستخدمين الذين يحتاجون لوصول السريع الى الاوساط المتعددة والى ملفات البيانات الكبيرة.

يجري الان، تطوير طريق اسرع لوصول الى الانترنت والفضل في ذلك يعود الى الاهتمام المركز للمستخدمين لتطوير تقنية وارتباطية الانترنت.

بلادى هذا الى النشر التجاري للمودمات التي ترسل بيانات بسرع عالية عبر شبكات قابلة للتغذيون او عبر خطوط الهاتف التقليدية المجهزة بجهاز خط الاشتراك الرقمي غير المتزامن (ADSL).

في المعدل، ان مودمات القابلة تسمح

**الخلاصة**

ترابيد الطلب على وسائل ارتباط سريعة بشكل مستمر وبالحاج خلال عقد للسبعينات. شبكات تراسل المعلومات المرتبطة بالطرق لائقة للسرعة سواء ذات الاسلاك او بدون اسلاك في تطور مستمر ومتسرع. لكن تروع ايجابياته وقصوره، ففي الوقت الذي تشهد تذبذب كلفة طيف التردد الراديوي (RFS) الا انه أصبح مزدحم خاصة في اوقات الزخم. ولا زالت الشبكات بدون اسلاك تستخدم بدلاً من الشبكات السلكية. ولكن تكون الشبكات الراديوية حفاظة تقنية قابلة للتطبيق، يجب ان تكون متينة وكاملة للتطوير ومؤمنة ومحفظة ومتوفرة في كل وقت وكل مكان.

تكون اسرع. بالرغم من ذلك، فلنعرض الموجي لمودمات القابلو تكون مشتركة بين كل ثريات على جزء معين من قابلو التلفزيون. لذلك، فلن سرعة مودمات القابلو المستخدم الواحد تعتمد على (وقد تكون أيضاً محددة بـ) عدد الأشخاص الذين يستخدمون نفس الجزء من القابلو للوصول إلى البيانات في آن واحد.

ولكن شبكة القابلو مشتركة وإن العزم البيانية يمكن بثها مرة واحدة على الشبكة لعدة من المستخدمين، فإن مودمات القابلو قد تجعل من المهمة نشر خدمات متعددة الانسatz مثل الفيديو الرقمي. مع ذلك، فمن هذه الشبكة المشتركة توفر خرض أيضاً تهديداً أنها امتداد للمستخدمين، ما دامت كل حزمة بيانات تمر عبر كل مودم على جزء القابلو المشترك. يحاول مجهزي المودمات ومكاتب خدمتها معالجة هذا الأمر من خلال إصدار جفرة (DES) لاغراض البث.

ترتبط مودمات القابلو بشكل دائم بالعمود الفقري للقابلو عند تشغيلها وذلك لأنها تستخدم معمارية التوجه الحزمى التي تسمح للمستخدمين من مضاضة الوجبات المضافة على رابط عادي مختلف. تستخدم معمارية الدارة المحولية مع موئل الماء التقليدية لتسمح لدارة واحدة فقط أن تفتح في الوقت الواحد.

## **٢- تقنية خط الاشتراك الرقمي غير المتراوئ (ADSL) ذات سرعه سريان عاليه**

تالياً، تبّث مودمات (ADSL) البيانات بسرعة سريان انحدار (Down stream) بيانات تتراوح بين (١٥) و (٩) Mbps.

المستخدمين بتحويل بياناتهم بحدود (3 Mbps).

### **١- تقنية مودم القابلو : معدلات سريعة غير شبكية مشتركة**

توفر مودمات القابلو ارتباط مشترك سرعة عالية جداً بين المشتركين بالقابلو وبهالية رئيسية تمر بشبكة قابلو محوري كما في الشكل (١). كل مودم قابلوي يحتاج إلىواجهة اتصال حاسوبية وواجهة ذبذبة راديوية لأجل الارتباط بشبكة التلفزيون القابلوي. تكون الواجهة الحاسوبية بوابة أثيرية من نوع Base-T (١٠ أو ١٠٠ Base-T)، ولكن المجهزين يخططون لدعم نقل تباعي على السرعة من نوع WIRE IEEE 1394 FIRE) وكذلك الناقل التابعى العالى القىلى فى التريب العاجل.

يحصل كل ميل من البيانات الى صندوق قابلو ضمن قناة ذبذبة راديوية سرعتها (٦ MHz) وتستخدم عادة لحمل اشارات تلفزيونية. يمكن كل قناة ان توفر معدل بث يصل الى (48 Mbps)، ولكن تقلidiماً تبّث بيانات بسرعة (٢٧ Mbps) لأن بعض المعدات الموجية تستخدم لتصحيح الأخطاء ووظائف الاشارة.

تحصل كل قناة سيل، ضمن اشارات ذبذبة راديوية سرعتها تتراوح بين (٢٠٠ KHz) و (٣.٢ MHz) و قسند معدل بث بيانات بين (٣٢٠ Kbps) و (١٠ Mbps).

لان مودمات القابلو تمتلك عرض موجي كلي اكبر من مودم ADSL، فإنها تمتلك الامكانيه لأن

تستخدم النظم الثالثة على حذف الصدى نفس العرض الموجي لاتسارات السبيل التصاعدي و تقوم بحذف الاشارة المرئية الداخلية من صدى البث وهذا يجعل المودمات قادرة على استخدام حزمتها الموجية المتوفرة للارسال والاستلام على نفس النسبة.

باستخدام كلا التقنيتين، يجب على المستخدم ان يحصل مقدم ذي 4KHz لحصول الاتصالات الصوتية عن بيانات الـ (ADSL) و حذف التداخل بين الاثنين.

ترى في المقدمة لـ (ADSL) من التقنيات التي تتيح اتصالات الكهربائية الصالحة من اجهزة مثل مخلفات الاضاءة والملائين الكهربائية والتي تؤثر على البث الهاتفي.

تمتلك الـ (ADSL) على عدد من الموصفات الجيدة تتيح لها على مودمات الكمبيوتر : مثلا، ترسل مودمات الـ (ADSL) حزم بيانات ثابتة العدد ضمن اطوار زمني محدد، وتسمح بخدمات متزنة للطبيعة لـ (ADSL) لاتصالات الـ (ADSL) من الحقيقي.

ترسل مودمات الكمبيوتر البيانات كلها حزمة موجية لنقليها، بالإضافة الى ذلك، ولكن خطوط الحزمة الموجية لـ (ADSL) شير مشتركة، فان المستخدمين يستلمون دائمًا نفس سرعات البث العالية وهذا مخاطر امنية أقل أيضًا.

### ٣- تقنية ADSL الثالثة (UADSL)

هذه التقنية الشائعة من (ADSL) و ذات متغير مختلف سرعة قد تم توجيه امثلتها لتسييل نشر و خلصن كل من المستخدمين ضمن الرقعة الجغرافية كما في الشكل رقم (٣).

بيانات بين (١٦) و (٤٠) Kbps.

يعزى سبب سرعة الـ (ADSL) لكونها تستخدم جزء اكبر من الحزمة الموجية الراديوية لـ (ADSL) لاتصالات مقارنة بالمودمات التقليدية.

تعمل ADSL على مدى يصل الى ١٨,٠٠٠ قدم فقط. قد يمثل هذا مثلاً بالنسبة الى شبكات الهاتف التي يستخدمها مستخدمون يبعدون اكثر من ١٨,٠٠٠ قدم من تجهيزات شركة الهاتف.

تعامل مودمات الـ (ADSL) مع بيانات واتسارات هاتفية بذبذبات مختلفة، بحيث تستطيع المودمات الدامنة ارتباط بالانترنت حتى عندما تكون خطوط الهاتف مستخدمة لنقل الصوت كما في الشكل رقم (٢).

تعتمد مودمات (ADSL) تقنية البرة المضاعفة المتقطعة والتي تقطع طيف النسبية الراديوية الى مثنتي الدارات الصغيرة تعمل كل منها بشكل موازي، يسمح هذا للتقطيع للمودم ان يديم جلسات مضاعفة في ان واحد بالإضافة الى اضافة او اسقاط عرض موجي لـ (ADSL) حسب الحاجة.

يقسم مودم الـ (ADSL) لـ (ADSL) الموجي باستخدام اسلوب مضاعفة تقسيم النسبية (FDM) او اسلوب الفاء الصدى لكن يتمكن من الارسال والاستلام في ان واحد. يخصص الـ (FDM) موجة نسبية راديوية واحدة لكل سهل بيانات انحداري واخر لكل سهل بيانات تصاعدي. يستخدم المودم بعد ذلك تقسيم الزمن للمضاعف، لتقسيم السوچات الى قنوات مضاعفة لحمل ا نوع مختلطة من البيانات في ان واحد.

بالانترنت.

- ٤- تقنية ADSL متاحة على التقانات الأخرى بسبب بسيط هو أن كافة المستخدمين يتوفر لديهم خط هاتف.
- ٥- سيكون للتقانتين على المدى المستقبلي القريب، سوقاً رائجة لأن ADSL التي تعتمد على الخط الهاتفي تستعمل بكثرة في الاعمال وتنقل المعلومات ونشرها في حين أن تقنية موبدم القابلة مرغوبة لكونها تستخدم بالدرجة الرئيسية للأغراض الترفيهية.

### Reference

- 1- Lawton, G., "Paving the Information Superhighway's Last Mile", IEEE Computer Magazine, vol.31, #4, 1998.
- 2- Benda, M., "Shaping the Internet: The Dynamics", IEEE INTERNET COMPUTING MAGAZINE, VOL.2, #1, 1998.
- 3- Lewis, T., "Who Owns the Internet?", IEEE INTERNET COMPUTING MAGAZINE, VOL.2, #1, 1998.

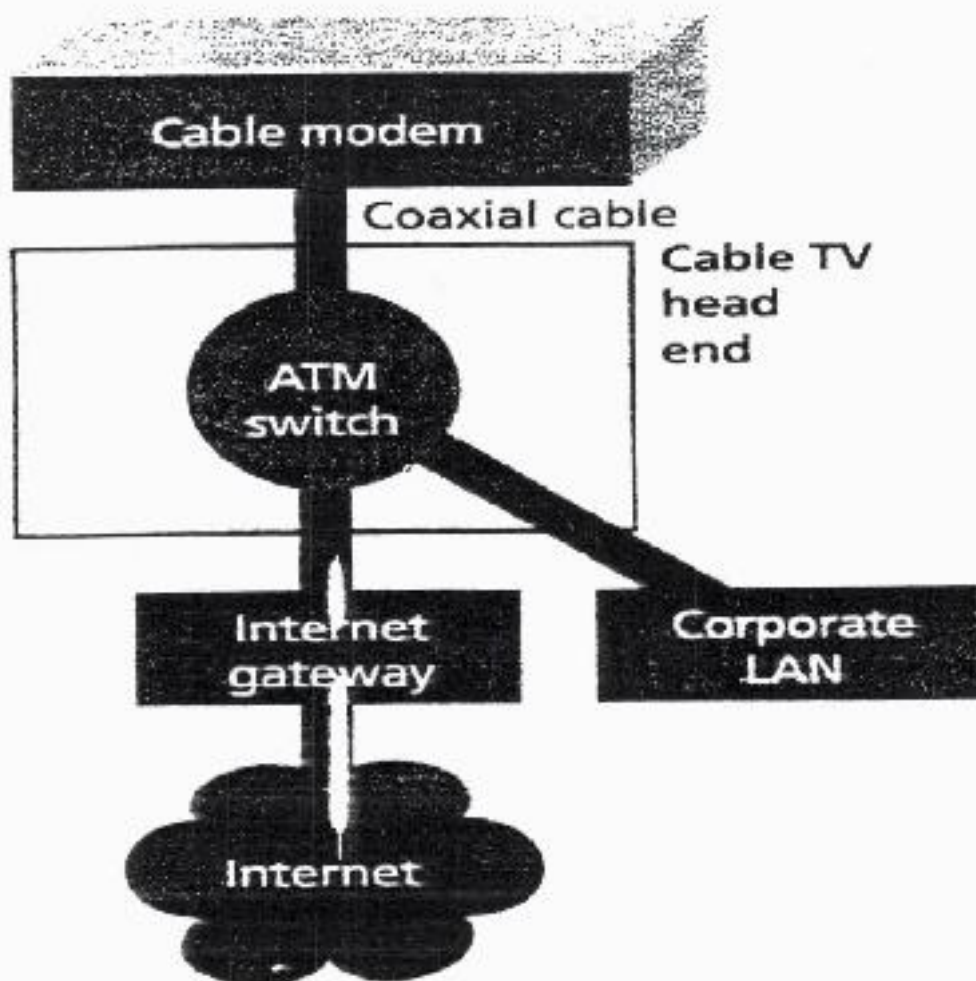
تستطيع أن (UADSL) توليف بيانات على نفس الحزمة الموجبة ذات النبذية الراديوية، أقل من أن ADSL مع هذه الحجوم الاقل، هناك تداخل أقل بين البيانات والاشارات الهاتفية وبإمكان المنظومة تنقية التدخلات الى مستويات مقبولة دون الحاجة الى مقسمات.

يخلص هذا الاسلوب من كلية التشر ويلغي الحاجة الى ارسال شخص ثالث لنصب أن (UADSL). مع ذلك، فإن أن (UADSL) ابطأ من أن (ADSL) فالآن أن (UADSL) يعاني من قصورين اخرين مقارنة بالـ (ADSL):

- الأول: يغير استخدام الهاتف أحيناً من مواصفات اشارات موبدم أن UADSL وهذا قد يسبب مشكل تداخلات وتشويف.
- الثاني: أحيناً تداخل موبدمات أن UADSL مع الاشارات الهاتفية.

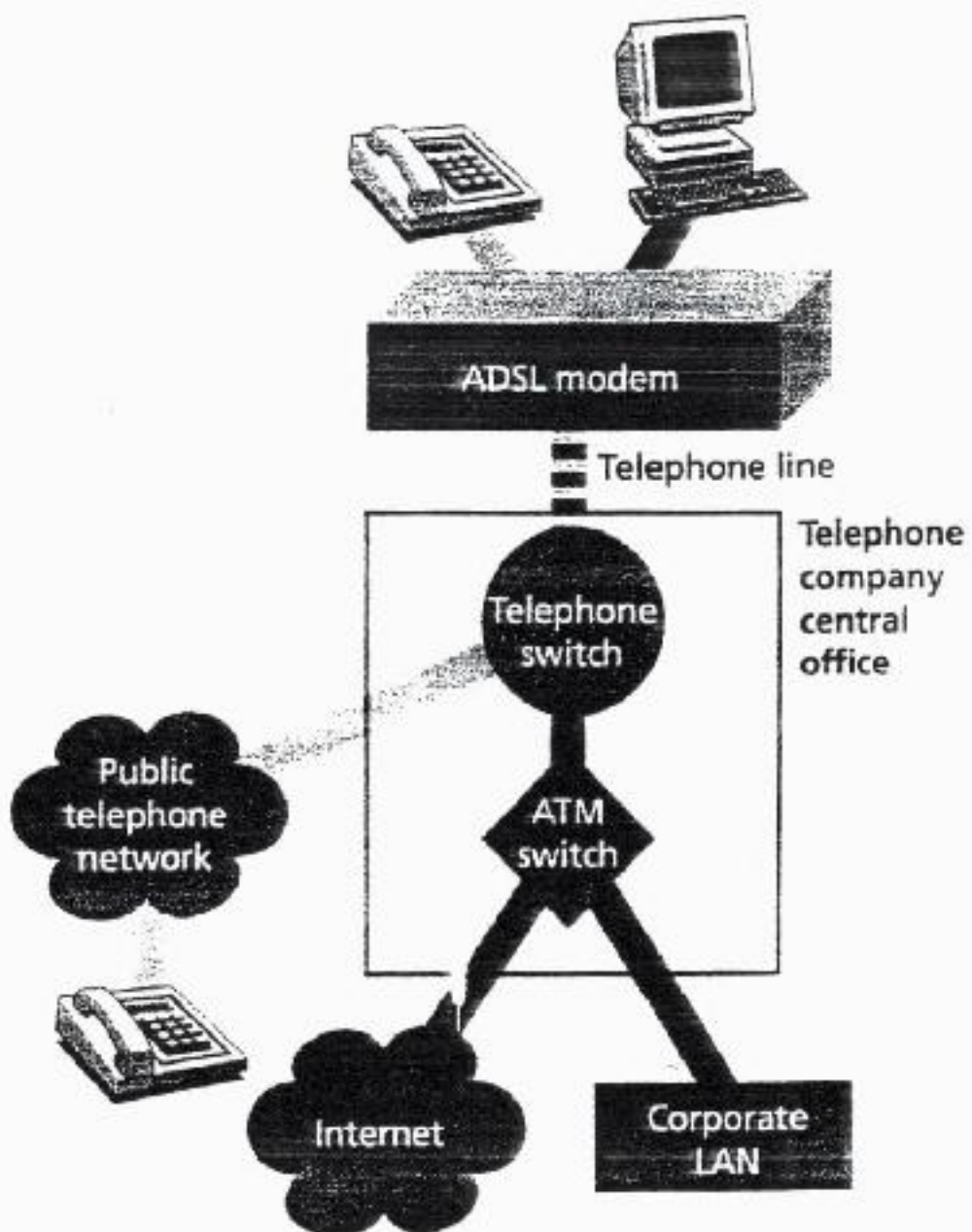
### ٤- التحليل والاستنتاج

- ١- استخدام تقنية ADSL وتقنية موبدم القابلة لازال محظوظاً بسبب حداثة هاتين التقانتين وجود بعض القصور في إثنينهما.
- ٢- كلية خدمات ADSL تتجاوز بين \$40 و \$80 في الشهر اعتماداً على سرعة البايت التي توفرها وكلفة خدمات موبدم القابلة \$40 في الشهر وهذه الكلف تعادل كلف الموبدم الكمي الحال مع خط هاتف المستخدمة الان.
- ٣- التقانات عالية السرعة ستنتشر بسرعة خاصة إن كلف تصنيعها في انخفاض مستمر والمستخدمين يذوا البحث عن التقانات ذات السرع للاتصالات

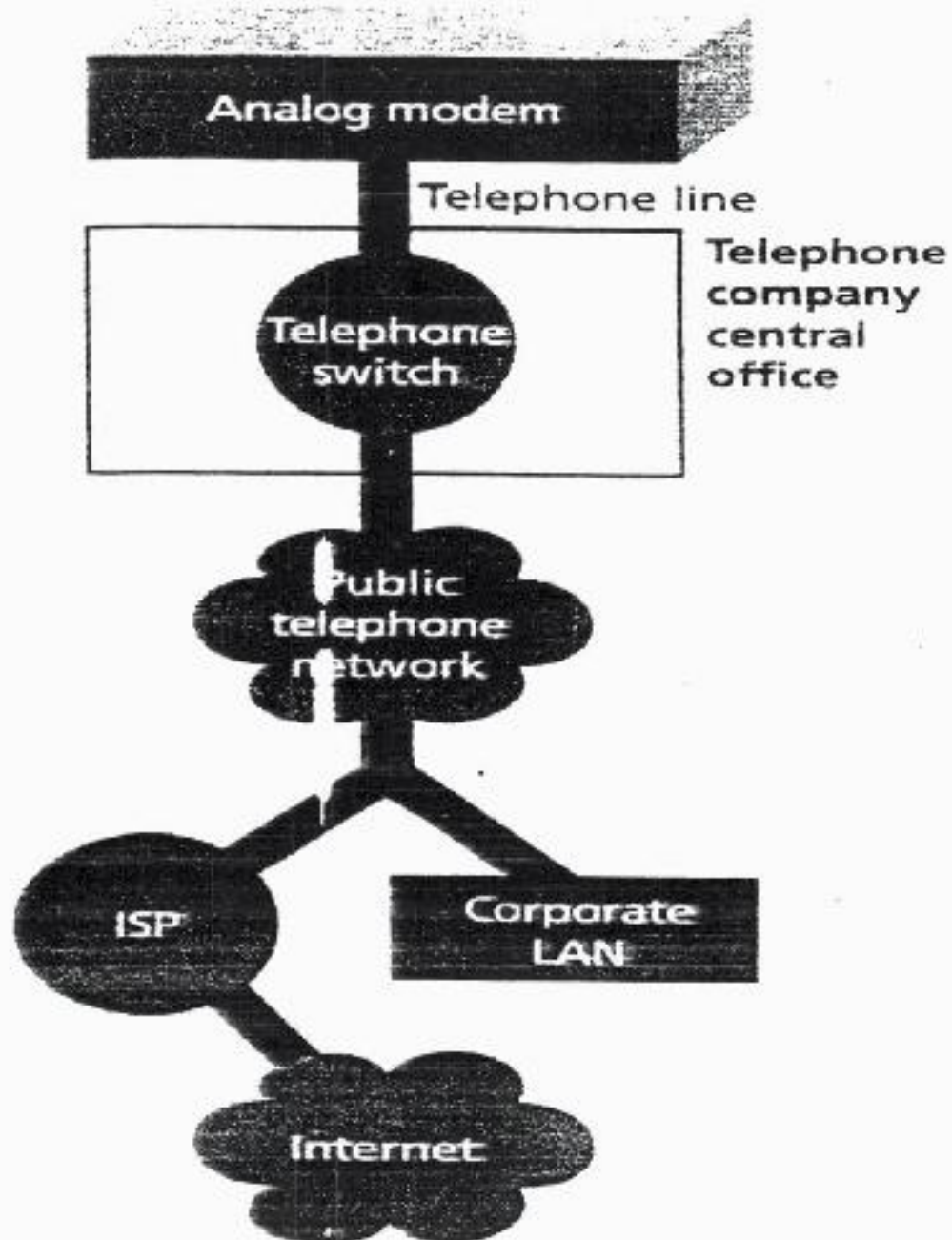


Data  
Voice

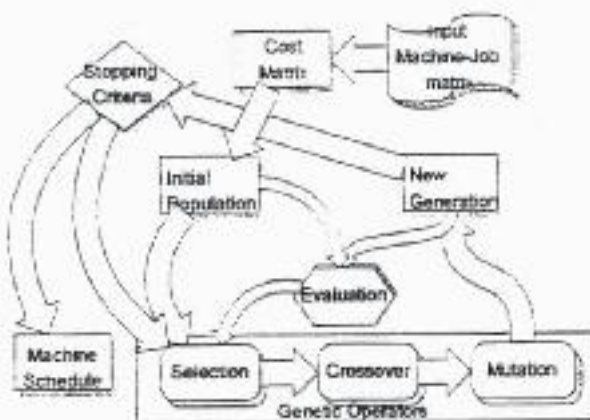
الشكل رقم (١)



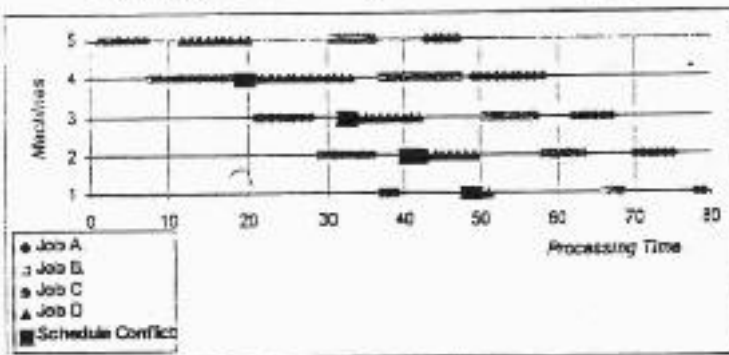
الشكل رقم (٢)



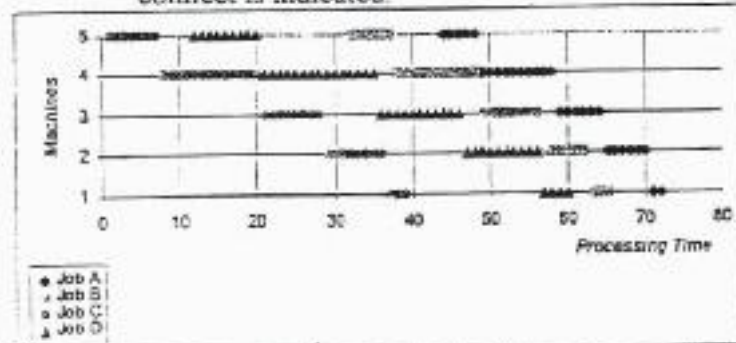
الشكل رقم (٢)



Figure(1): Genetic Algorithm flow shop system.



Figure(2): Optimal job sequencing obtained from table (6). Schedule conflict is indicated.



Figure(3): System output; optimal flow shop schedule, No intermediate storage.

**Table (4):** Distance matrix of the FSNIS problem of table (3).

	Ja	Jb	Jc	Jd
Ja	0	9	8	6
Jb	12	0	10	8
Jc	15	14	0	11
Jd	22	18	17	0

**Table (5):** Cost matrix of the FSNIS problem of table (3).

	Ja	Jb	Jc	Jd
Ja	0	4	3	1
Jb	6	0	4	2
Jc	8	7	0	4
Jd	13	9	8	0

**Table (6):** First Genetic algorithm Generation using OX, PMX, and CX crossover operators; six candidate solutions.

OX Operator				
Schedule	d	f	F	C
bdea	18	10	0.25	3
cdba	19	9	0.22	3
dbea	21	7	0.17	3
beda	21	7	0.17	3
dcha	21	7	0.17	3
abed	28	0	0.00	1
PMX Operator				
Schedule	d	f	F	C
bdea	18	10	0.25	3
cdba	19	9	0.22	3
dbca	21	7	0.17	3
beda	21	7	0.17	3
dcba	21	7	0.17	3
abed	28	0	0.00	1
CX Operator				
Schedule	d	f	F	C
bdea	18	10	0.25	3
cdba	19	9	0.22	3
dbca	21	7	0.17	3
beda	21	7	0.17	3
dcba	21	7	0.17	3
abed	28	0	0.00	1

<b>d</b>	Euclidean distance	<b>F</b>	Roulette wheel probability
<b>f</b>	Fitness value	<b>C</b>	Deterministic sampling probability

- Bounding Scheme for the Permutation Flow Shop Problem", Operations Research, vol. 26, No. 1, 1978, pp. 53-67.
- 4- Panwalkar S.S., and Woollam C.R.; "Flow Shop Scheduling Problems with No In-Process Waiting: A Special Case", Journal of Operation Research Society, vol. 30, No. 7, 1979, pp. 661-664.
- 5- Adiri I., Amit N.; "Open Shop and Flow Shop Scheduling to Minimize Sum of Completion Times", Comput. and Ops. vol. 11, No. 3, 1984, pp. 275-284.
- 6- Al-Rawi H., and Fehran B., "A Genetic Algorithm Approach for Solving the Traveling Salesman Problem", Proceeding of CATAEE'99, Amman, Jordan, 1999.
- 7- Matthews R.A.J.; "The Use of Genetic Algorithms in Cryptanalysis", Cryptologia, Volume XVII Number 2, April 1993, pp. 187-201.
- 8- Grant K.; "An Introduction to Genetic Algorithms", C/ C++ Users Journal-March, 1995, pp. 45-57.
- 9- Goldberg D.E.; "Genetic Algorithms in Search, Optimization, and Machine Learning", Addison Wesley, 1989.
- 10- Grefenstette J.J.; "Optimization of Control parameters for Genetic Algorithms", in "Genetic Algorithm" Ed. Buckles B.P. and Petry F.E., IEEE Computer Society Press, pp. 5-11, 1992.

Table (1): The TSP distance matrix for FSNIS problem.

0	D <sub>12</sub>	D <sub>13</sub>	...	D <sub>1n</sub>
D <sub>21</sub>	0	D <sub>23</sub>		D <sub>2n</sub>
D <sub>31</sub>	D <sub>32</sub>	0	...	D <sub>3n</sub>
...				
D <sub>n1</sub>	D <sub>n2</sub>	D <sub>n3</sub>	...	0

Table (2): The cost matrix of table (1).

0	D' <sub>12</sub>	D' <sub>13</sub>	...	D' <sub>1n</sub>
D' <sub>21</sub>	0	D' <sub>23</sub>		D' <sub>2n</sub>
D' <sub>31</sub>	D' <sub>32</sub>	0	...	D' <sub>3n</sub>
...				
D' <sub>n1</sub>	D' <sub>n2</sub>	D' <sub>n3</sub>	...	0

Table (3): System input; processing time matrix.

	M1	M2	M3	M4	M5
J <sub>a</sub>	5	10	6	6	2
J <sub>b</sub>	6	11	8	6	3
J <sub>c</sub>	7	13	8	8	3
J <sub>d</sub>	9	15	11	10	4

This machine suffers from schedule overlaps between job C and job D. This overlap caused schedule conflict in the remaining machines schedules, as can be seen from figure.

Applying the schedule adjustment algorithm permits the use of the same job sequence of the fittest solution obtained. Figure (3) shows the optimal flow shop schedule obtained with no intermediate storage.

### 5- Conclusion

A new approach for solving flow shop problem using genetic algorithm was presented. A Genetic algorithm Flow Shop (GFS) scheduler system was implemented.

The system consists of, (1) a stage for formulating the problem as a TSP problem, calculate a distance and a cost matrix for the given problem, (2) a stage for generating randomly a population of machine sequences, (3) a genetic algorithm subsystem consisting of (basket) selection, (OX, PMX, and CX) crossover and (swap) mutation operations with a guided search based on a fitness function reported earlier, and (4) a stage for detecting and adjusting any schedule conflicts

due to the critical path schedule overlaps. System output is a job-machine processing schedule as that of figure (3).

System performance showed that genetic algorithm is fast in converging toward an optimal solution for such NP-complete problem. The stopping criteria considered in the system is either a three time solution repetition in successive generations or when no improvement in the solution obtained in successive generations is found. The effect of selecting any of the special crossover operators is very minor in small scale problems such as the one reported in this paper. Authors are working on extending the proposed/implemented method for solving other machine scheduling problem.

### Reference

- 1- Phillips D.T., Rarindran A., and Solberg J.J.; "Operations Research: Principles and Practice", John Wiley, 1976.
- 2- Gonzalez T., and Sahai S.; "Flow Shop and Job Shop Schedules: Complexity and Approximation", Operations Research, vol. 26, No. 1, 1978, pp. 36-52.
- 3- Lageweg B.J., Lenstra J.K., and Rinnooy Kan A.H.G.; "A General

time value from the end of previous job operation, and in case it is negative then the delay time of current and next jobs is increased by the difference value as shown in algorithm (1). The schedule adjusting algorithm keeps the same optimal job sequencing obtained, deals with the critical path schedule by advancing or delaying the specified job schedule by the difference value calculated, and find out the optimal-non conflicting-job-machine schedule based on the optimal job sequencing obtained.

#### **4- Experimental Results**

Table (3) gives the processing time of a four job/five machine flow shop problem. It is required to find out the optimal sequencing (schedule) of these jobs on each of the five machines so that to minimize the total processing time on each machine provided that the job continues processed on the machines in that sequence with no wait. In other words if job i (a, b, ...c) is processed on machine j (1, 2, ...5) then when the processing on that machine ends the successive machine has to be ready to start processing job i directly after coming out of

machine j. Table (3) shows an imbalance machine workload.

After entering the data of table (3) to the GFS system the system starts formulating the problem as a TSP problem. Table (4) and table (5) give the distance and cost matrices calculated by the system. Table (6) shows the results obtained in just a single generation using a population size of 6, 0.1 mutation rate and the three considered types of crossover operators. The system using OX, PMX, and CX crossover operations converged toward the solution within just single generation. The results using each of the crossover operations are identical. The total Euclidean distance of each schedule and the relative fitness among the population members are also given. The result obtained from this stage represents the optimal job sequencing on each machine.

Figure (2) shows a plot of the sequence as a schedule of the four jobs on the five machines according to the fittest (sequence) solution obtained from table (6). No conflict in Machine Number five job schedule. The critical path can be seen on machine number 4.

```

else
time = time + difference
endif
start operation[job][machine]
at time
time time + P[job][machine]
endfor
endfor
end

```

### **3-5 Critical Path Adjustment**

It was found from the different flow shop problems solved by the system may have some problems in the critical path. An overlap in processing times was obtained in certain cases. The GFS system ends with a population of candidate solutions for the optimal job sequencing. Generally the solution with the higher fitness is selected and the job-machine schedule is worked out according to that sequence. If a processing time overlap problem found in the critical path then it is suggested to select the second candidate (sequence) solution. An algorithm for detecting any such overlap problem and adjust that problem by selecting the second fittest solution can developed. Obviously, selecting the second candidate solution means accepting the solution which is not the best in terms of

distance, cost or processing time.

It worth to mention that even the second candidate solution may not necessarily overcome the overlapping problem. Once the second candidate solution is less fit then the total cost is higher than the first fittest solution, and accordingly there may not be any problem in the critical path, but that is not guaranteed.

However, it was found that even with the first candidate solution it is possible to solve this overlapping problem. An algorithm was developed to detect such overlaps and then determines the difference time between the starting of job operation and the end of previous job operation by applying the following equation

$$\text{difference} = D_{ij} - P_{ij} \quad \dots(4)$$

where  $D_{ij}$  represents the delay in starting of job  $j$  (measured from the start of job  $i$ ), and  $P_{ij}$  denotes the processing time of job  $i$  on machine  $j$ .

The schedule adjusting algorithm checks difference value, in case it is positive then the job operation starts execution after the difference

calculated relatively within each generation.

### 3-3 Crossover and Mutation Operation

Problems such as those involving the optimization of a certain order of parameters, are naturally coded permutation organisms such as (i, b, g, ..., e). The use of crossover and mutation operators on these is more subtle, such as (i, b, g, ... b). Therefore such problems involve special crossover and mutation operators. Two point crossover operator would have to be modified to work with such problems. Exchanging parts of two solutions will usually result an invalid solution.

Three types of special crossover operators reported for permutation problems are selected to be examined and used in the GFS system. These are: order crossover (OX), partially matched crossover (PMX), and cycle crossover (CX). One child from a pair of parents is considered<sup>(6)</sup>.

Arbitrarily changing single allele value would not preserve allele uniqueness. The mutation method used in GFS system is the swap mutation; that is to interchange two randomly

selected position, thus preserving allele uniqueness.

### 3-4 Replacement

The weak parents replacement is implemented in the GFS system. In this method both parents and children are combined together and a number (equal to the population size) of the fittest individuals is selected to represent the new generation.

#### **Algorithm (1): Adjusting critical path schedule.**

```

begin
    input data: distance matrix
    "D"; input processing time
    matrix "P"
    time = 1; job = 1
    for machine = 1 to m
        start operation[job][machine]
        at time
        time = time + P[job][machine]
    endfor
    for job = 2 to n
        for machine = 1 to m
            time = time [job-1][machine]
            difference = D[job] [machine]-
                P[job][machine]
            if (difference < 0) {
                D[job][machine]=
                D[job][machine]-difference
                D[job+1][machine]=
                D[job][machine]-difference
                time = time - difference
            }
        endfor
    endfor
end

```

previous sequence generation. As shown in figure 1 a current generation being acted upon by the three operators to produce the successive generation.

### **3-1 Problem Formulation and Fitness Function**

The  $n$  job FSNIS problem can be formulated as an  $(n+1)$  city traveling salesman problem. There are several ways of representing the equivalent distance matrix for the TSP. Bakers' matrix<sup>[4]</sup> is one of these, and it is shown in table (1). In the distance matrix,  $D_{ik}$  represents the delay in starting of job  $k$  (measured from the start of job  $i$ ) and the total value of any tour represents the makespan for the corresponding sequence. Using the following equation<sup>[4]</sup> to compute  $D_{ik}$ .

$$D_{ik} = P_{i1} + \max(0, P_{i2} - P_{k1}, P_{i2} + P_{i3} - P_{k1} - P_{k2}, \dots, \sum_{j=2}^m P_{ij} - \sum_{j=1}^{m-1} P_{kj}) \quad (1)$$

where  $P_{ij}$  denotes the processing time of job  $i$  ( $i = 1, \dots, n$ ) on machine  $j$  ( $j = 1, \dots, m$ ).

Subtracting  $P_{i1}$  from each row  $i$  ( $\leq n$ ) in table (1) reduces the matrix of table (1) to table (2) as in the following equation

$$D_{ik} = D_{ik} - P_{i1} \quad (2)$$

The reduced matrix applies to any FSNIS as well as any open flow shop no intermediate storage (OFSNIS) problem.

The fitness function used here computed by using the following equation and the cost matrix

$$f_i = d_{\max} - d_i + d_{last} - d_{first} \quad (3)$$

where last and first are related to schedule  $i$ .

### **3-2 Selection Operation**

The selection operator chooses two members of the present generation to participate in the later operations; crossover and mutation. There are two popular approaches for implementing selection. The first is the roulette selection, and the second is the deterministic sampling. System performance using each of the above two selection methods was poor. Convergence (measured in time units or number of generations) is found slow. The basket selection method suggested in<sup>[5]</sup> is adopted. The newly developed method is a modified combination of the above two methods. The fitness, is

randomly with a low probability.

### **2-2 The Differences Between Genetic and Conventional Algorithm**

GAs differentiate from conventional algorithms in the following points<sup>(9)</sup>:

- GAs work with parameters coding. To solve the problem with GAs, the first step is to code the parameter as a finite length string, while traditional algorithms work on the parameters themselves.
- GAs search from a population of points simultaneously. The probability of finding a false peak is reduced because of climbing many peaks in parallel, while traditional algorithms move from a single point in the search space to the next using some transition rule to determine the next point which may located false peak in multimodal spaces.
- GAs use objective function values associated with individual strings, not derivatives or other auxiliary knowledge but traditional methods need derivatives like in gradient techniques to

climb the current peak, and require auxiliary knowledge like in greedy techniques to access to most if not all tabular parameters.

- GAs use probabilistic transition rules. GAs use random choice to guide a search toward improved regions of search while traditional algorithms use deterministic rules.

### **3- Genetic Algorithm Flow Shop System**

The developed Genetic algorithm Flow Shop (GFS) system consists of the stages shown in figure 1. The machine sequencing problem is represented in the early stages of the system as strings or organisms. Each organism may represent a sequence of the alphabet indicating machine sequencing. The following subsections describe the different stages of the system. System input is a matrix representing the processing time of each job on each machine.

An initial tours population is randomly generated and successive sequence populations called generations are derived by applying the selection, crossover and mutation operators to the

reported genetic algorithm system<sup>(6)</sup> for solving the traveling salesman problem (TSP).

## **2- Genetic Algorithm**

The so-called Genetic Algorithms (GAs) are new algorithms than can attack difficult (NP-Complete) computation problems such as TSP<sup>(6,7)</sup>. These algorithms developed by John Holland at the University of Michigan in the mid-1970s. As the name implies, it is an iterative procedure based on various biological principles. GA encodes information into strings just as living organisms encode characteristics into strands of DNA<sup>(8)</sup>. A string in GA is analogous to a chromosome in biology, chromosomes are composed of genes which take some values called alleles, strings are composed of features which may take different values, one or more chromosomes are combined to form genotype, combined strings are called a structure.

In natural systems, the organisms formed by interaction of the genotype with its environment is called phenotype, in artificial genetic, the

structures decode to form a parameter set. As with biological parameters, two strings combine and contribute part of their characteristics to create their child. This child joins the pool and fight to produce the next generation<sup>(9)</sup>.

### **2-1 Genetic Algorithm Cycle**

A GA is one of search algorithms that use probability to guide their search with no constraints within the search space (like the existence of derivatives)<sup>(10)</sup>, its components are<sup>(7)</sup>:

- An initial population of random chromosomes, coded in a relevant form.
- An objective function to measure the near of each chromosomes to the solution of the problem.
- A selection operation to select chromosomes based on their objective function values, the better ones are with high probability of contributing one or more offspring.
- A crossover operation which takes pair of selected chromosomes and randomly combines elements of each to produce offspring.
- A mutation operation which changes offspring alleles

jobs  $J_1, \dots, J_n$  has to be processed on  $m$  machines  $M_1, \dots, M_m$  in that order. Job  $J_i$ ,  $i = 1, \dots, n$ , thus consists of a sequence of  $m$  operations  $O_{i1}, \dots, O_{im}$ .  $O_{ik}$  correspond to the processing of  $J_i$  on  $M_k$  during an uninterrupted processing time  $P_{ik}$ .  $M_k$ ,  $K = 1, \dots, m$  can handle at most one job at a time. It is to find a processing order on each  $M_k$  such that the time required to complete all jobs is minimized.

Flow shop problem can be classified into two categories depending on the availability (or the requirement) of intermediate storage. These categories are; the FSNIS (Flow Shop, No Intermediate Storage) and the FSIIS (Flow Shop, Infinite intermediate Storage). The former is more complicated due to the additional constraint of the storage availability. The FSNIS is the concern of this paper.

Many researchers worked on the flow shop problem as an NP-problem. Teofilo Gonzalez, and Sartaj Sahni<sup>(2)</sup> tried to find minimum finish time preemptive and non preemptive schedules for flow shops. Bounds on the performance of various heuristics to generate reasonably good schedules were

considered. B.J. Lageweg, J.K. Lenstra, and A.H.G. Rinnooy Kan<sup>(3)</sup> reported that, branch-and-bound methods are commonly used to find a permutation schedule that minimizes maximum completion time in an  $m$ -machine flow shop. They described a classification scheme for lower bounds.

The objective of S.S. Panwalkar, and C.R. Woollam<sup>(4)</sup> work was to minimize makespan for a special case of flow shop problems subject to the constraint at no-in process waiting is allowed. I. Adii, and N. Amit<sup>(5)</sup> dealt with special cases of permutation flow shop scheduling where the objective function was minimum sum of completion times. They presented  $O(m^n)$  algorithms for open shop scheduling where all operations have equal processing times.

This work presents a solution to the flow shop problem with no intermediate storage (FSNIS) based on genetic algorithm. A Genetic algorithm Flow Shop (GFS) scheduler system is presented. The system deals with the problem of FSNIS as a traveling salesman problem. The presented GFS system is an extension to a previously

## A Genetic Algorithm Approach for Solving Flow Shop Problem

Prof. Dr. R.S. Naoum

Department of Computer Science

University of Baghdad

Dr. Hisham Al-Rawi

Department of Computer

and S/W Engineering

University of Technology

Buthynna F. Abid

National Computer center

Baghdad-Iraq

### Abstract

*A new approach for solving flow shop problem is presented. The developed and implemented system based on genetic algorithm formulate the flow shop problem as a traveling salesman problem and solve the machine-job scheduling problem accordingly. Special selection, crossover, and mutation operators are used within the genetic system. Results showed fast convergence toward optimal schedule.*

### 1- Introduction

The Flow Shop Problem may be stated as a scheduling problem in which  $n$  jobs have to be processed on  $m$  machines<sup>(1)</sup>. In a machine shop a batch of jobs is to be assigned to a group of machines in a way to maximize the total efficiency of the shop.

Flow shops are ordered sets of  $m$  processors (or machines)  $\langle P_1, \dots, P_m \rangle, m \geq 1$ , the processing time required by task  $j$  of job  $i$  is denoted by  $P_{ij}$ ,  $1 \leq j \leq m$ . For any job  $i$ , task  $j$ , is performed on processor  $P_j$ . For any job  $i$  the processing of task  $j$ ,  $j \geq 2$  can begin only after task  $j-1$  has been completed. The general flow shop problem can be formulated as follows. Each of  $n$

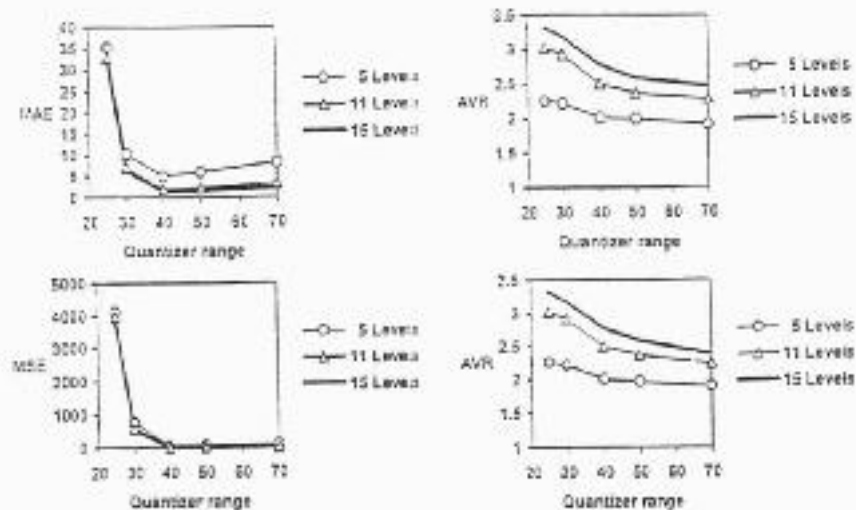


Fig.(6): The behavior of quality measures being used and their equivalent average codeword length using non isotropic polynomial predictor for Ros image.

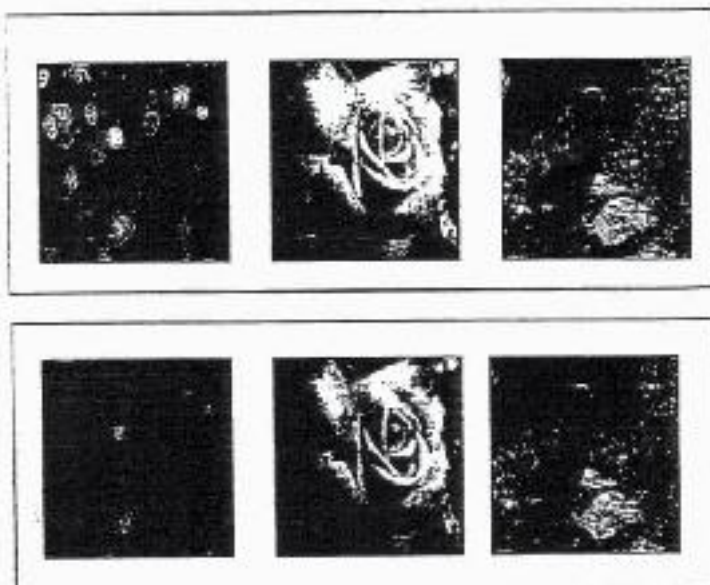


Fig.(7): The examples of the reconstructed images using semi-uniform quantization with 2<sup>nd</sup> order polynomial predictor.  
 a. Using isotropic polynomial predictor.  
 b. Using non isotropic polynomial predictor.

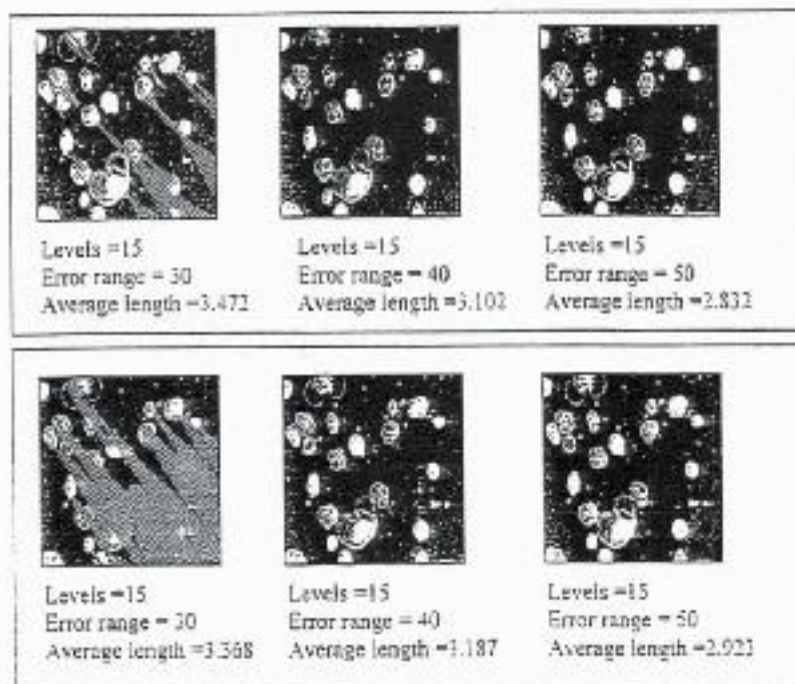


Fig.(4): The examples of the reconstructed images using 2<sup>nd</sup> order isotropic & non isotropic polynomial predictor with lossy encoding method and different quantizer output range values.

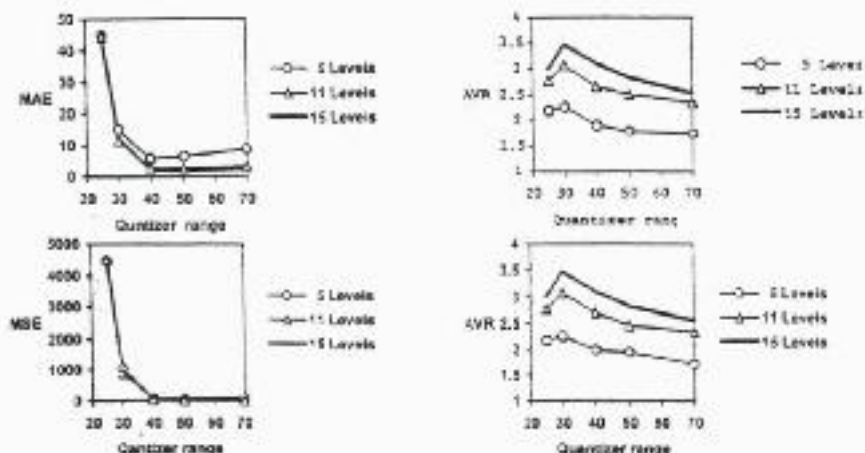


Fig.(5): The behavior of the quality measures being used and their equivalent average codeword length using isotropic polynomial predictor for Cell image.

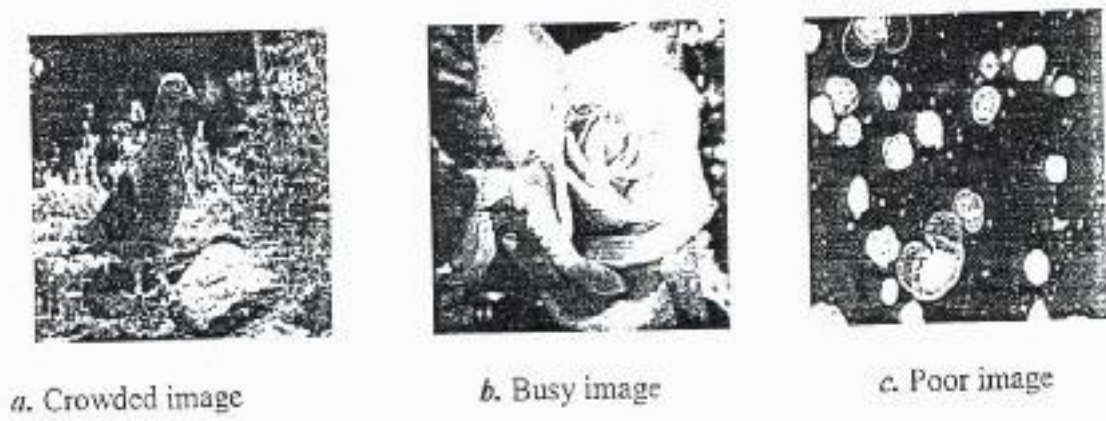
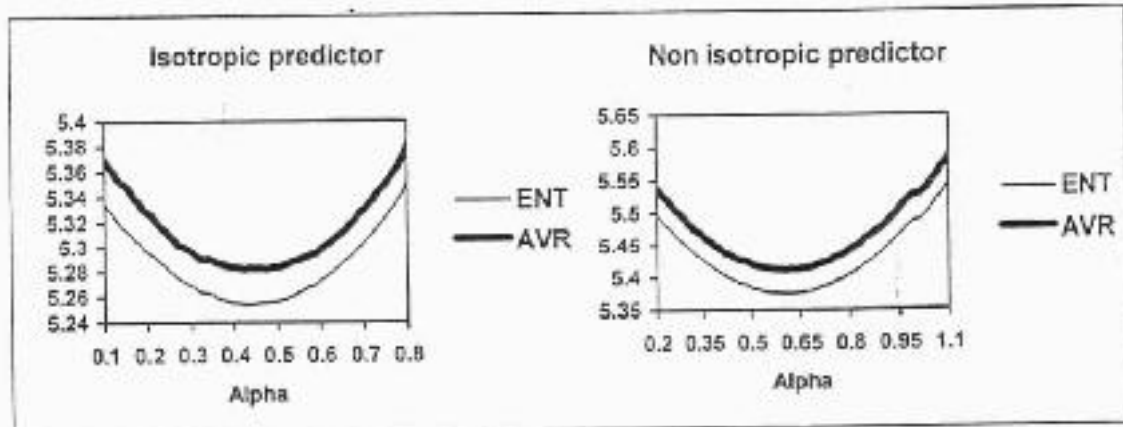


Fig.(2): The used images patterns.

Fig.(3): The behavior of  $\alpha$ -values with respect to the average codeword length using 2<sup>nd</sup> order polynomial predictors and errorless encoding method.

**Table (1):** The results of applying 2<sup>nd</sup> order polynomial predictors using semi-uniform quantization method.

Where P21 = Isotropic predictor, P22 = Non isotropic predictor.

IMG	Pred. Type	MAE			MSE			SNR			Exact	
		Alpha	MAE	AVR	Alpha	MSE	AVR	Alpha	SNR	AVR	AVR	AVR
Cell	P21	0.730	3.192	2.330	0.730	15.085	2.330	0.730	36.345	2.330	5.254	
Cell	P22	0.490	3.227	2.414	0.490	15.354	2.414	0.490	36.269	2.414	5.411	
Rose	P21	0.370	3.072	1.951	0.370	14.367	1.951	0.370	36.245	1.951	4.673	
Rose	P22	1.000	3.086	2.130	1.000	14.634	2.130	1.000	36.165	2.130	4.778	
Bird	P21	0.680	3.318	3.527	0.470	16.027	3.535	0.470	34.560	3.535	6.829	
Bird	P22	0.420	3.349	3.754	0.380	16.273	3.762	0.380	34.494	3.762	7.191	

G(x-2,y-2)	G(x-1,y-2)	G(x,y-2)
G(x-2,y-1)	G(x-1,y-1)	G(x,y-1)
G(x-2,y)	G(x-1,y)	G(x,y)

a. Adjacent points

$\alpha$	$\alpha/2$	$\alpha/3$
$\alpha/2$	$\alpha/5$	$\alpha/6$
$\alpha/3$	$\alpha/6$	

b. Isotropic predictive coefficients  
(Symmetry around 45°)

$2\alpha$	$1-3\alpha$	$\alpha-1$
$1-3\alpha$	$4(\alpha-1)$	$3-\alpha$
$\alpha-1$	$3-\alpha$	

c. Equivalent predictive coefficients

0	$\alpha$	$-\alpha$
$1-\alpha$	-2	$1+\alpha$
$\alpha-1$	$2-\alpha$	

d. Non-isotropic predictive coefficients

Fig.(1): The 2<sup>nd</sup> order polynomial surface points and the equivalent predictive coefficients.

## References

- 1- O'Neal, J., B., 1966, "Predictive Quantizing Differential Pulse Code Modulation for the Transmission of Television Signals", *Bell Syst. Tech. J.*, vol. 45, pp. 689-722.
- 2- Kortman, C., M., 1967, "Redundancy Reduction-A Practical Method of data Compression", *Proceedings of IEEE*, vol. 55, No. 3.
- 3- Hall, E.L., 1979, "Computer Image Processing & Recognition", Dep. of Electrical Engineering, the Miversit of Tennessee Knoxville, Tennessee.
- 4- Netravali, A., and Limb, J., 1980, "Picture Coding: A review", *Proc. IEEE*, vol. 68, No. 3, pp. 366-406.
- 5- Jorj, L.A., 1997, "New Coding Methods for Compressing Remotely Sensed Images", A Ph. D. Dissertation, University of Baghdad.
- 6- Gonzalez, R. C. and Wintz, P., 1977, "Digital Image Processing", First Edition Addison-Wesley Publication Company.
- 7- Gonzalez, R. C. and Wintz, P., 1987, "Digital Image Processing", First Edition Addison-Wesley Publication Company.
- 8- Rosenfeld, A., and Kak, A.C., 1982, "Digital Picture Processing", 2nd ed., Academic Press, New York.
- 9- Pavlidis, T., 1982, "Algorithms for Graphics and Image processing", Springer-Verlag, Berlin-Heidelberg, Computer Science Press, Inc.
- 10- Davission, L. D., 1973, "Universal Noiseless Coding", *IEEE Trans. on Information Theory*, vol. 19, pp. 783-795.
- 11- Jain, A., 1981, "Image Data Compression: A Review", *Proc. IEEE*, vol. 69, No. 3, pp. 349-389.
- 12- Jain, A.K., 1989, "Fundamental of Digital Image Processing", University of California, Davis.
- 13- Clarke, R.J., 1985, "Transform Coding of Images", Academic Press Inc., Orlando, Florida.
- 14- Nicoulin, A. and Mattavelli, M., 1992, "A Statistical Model for Coding Subband Images Using VQ and Arithmetic Coding", *Visual Communications and Image Processing (VCIP' 92)*, vol. 18, pp. 701-710.
- 15- Frendendall, G.L. and Behrend, W.L., 1960, "Picture Quality-procedures for Evaluating Subjective Effects of Interference", *Proc. IRE*, vol. 48, pp. 1030-1034.

predictors that were used in the literature which suffer from the possibility of determination failure. Furthermore, it is much easier to calculate the suggested predictor coefficients (since only one variable had to be calculated) than to find all predictor parameters required to define ordinary polynomial predictors.

In this research different quantizer range values have been tested. These values were (25, 30, 40, 50, 70, 80, 100, 110, 120, 150 and 160) which represents the range of the quantized error. When this range is below 40 (or 50 with the busy image), the optimal objective quality measures values have been obtained, but subjectively the images have been damaged. This is due to the fact that the small values of quantizer range will force the quantizer input to be in this limited range which in turn will cause error accumulation in the reconstructed images. These accumulated errors were increased as the quantizer output range was decreased. But for error range between 40 (or 50 with the busy image) and 150, the reconstructed images were acceptable and no error

accumulation was happened.

Some examples of the reconstructed images using isotropic and non-isotropic polynomial predictors are shown in figure (4). Furthermore, the quality measures that have been calculated indicates that increasing the number of the quantizer levels leads to better quality measures values but this is on the account of the average codeword length values.

Figure (5) and figure (6) demonstrate this behavior with respect to each error range being used using isotropic polynomial predictors respectively.

Table (1) present the results of applying the semi-uniform quantization using 2<sup>nd</sup> order predictor on the three selected images. The table shows that the semi-uniform quantization method gives better compression parameter results (average codeword length) than the errorless method but this is on the account of the reconstructed image visibility (quality). The reconstructed images using semi-uniform quantization with 2<sup>nd</sup> order polynomial predictors are shown in figure (7).

The second method has been used in our work.

#### **4-3 Entropy**

The entropy concept was one of the most popular measures utilized to indicate the degree of randomness<sup>(1, 6, 7)</sup>. The existence of statistical redundancy in the image could be evaluated by considering the entropy values. Suppose we have a set of ( $m$ ) random variables  $\alpha_1, \alpha_2, \dots, \alpha_m$  with probabilities  $P_1 = P(\alpha_1), \dots, P_m = P(\alpha_m)$  then the entropy, in bits, is defined as,

$$H = - \sum_{k=1}^m P_k \log_2 P_k \quad \dots (34)$$

The entropy for ( $m$ ) random variables can range from 0 to  $\log_2(m)$ .

In the coding applications, entropy represents the amount of information associated with the set of coder input values and gives a lower bound on the average number of bits to encode those inputs. The entropy defined above is the first order entropy, which was taken into consideration throughout the current research work.

#### **5- Polynomial Predictive Filters**

The second order polynomial predictors have been derived in 3.1. These filters were applied to the three suggested images shown in figure (2). The results are discussed in the following paragraphs.

#### **5- The Results of The 2nd Order Polynomial Predictive**

This type of predictors has only parameter variable ( $\alpha$ ) that controls the effect of each predictor (see figure 1). The application of these predictors on different images using different values for  $\alpha$ -parameter leads to the fact that alpha has a stationary effect on the values of the quality measures, furthermore, only one optimal  $\alpha$ -value is needed to be stored as a book note information. The behavior of  $\alpha$ -values with respect to the average codeword length using errorless encoding method is shown in figure (3). This figure shows that ( $\alpha$ ) has stationary behavior (around 0.4-0.6), which means that  $\alpha$ -values will never cause any failure in the predictor coefficients calculation and this could be considered as an improvement over the ordinary polynomial

(3) The Signal-to-Noise-Ratio (SNR): This parameter is defined as,

$$\text{SNR} = 10 \log_2 \left[ \frac{\{\max(f) - \min(f)\}^2}{\text{MSE}} \right] \quad (16)$$

#### 4-2 Subjective Fidelity Criteria

This type of measurement is usually used when the output images are to be viewed by people as in the case of TV images. It is interested in how good the images look to human observers. The human visual system (HVS) has special characteristics so that two pictures having the same amount of an objective criterion (MSE error) may appear to have very different visual qualities. The most important characteristics of the (HVS) is its logarithmic sensitivity to light intensity so that errors in dark areas of an images are much more noticeable than errors in bright areas<sup>(6, 7)</sup>. Another (HVS) characteristic is its sensitivity to abrupt spatial changes in gray level of the adjacent pixels, so that errors on or near the edges are more bothersome than errors in the background texture. many subjective methods have been used for evaluating images. This

evaluation is done by showing the images to a number of observers and averaging their evaluations. The observer evaluation can be made by using for example:

- (1) An absolute scale such as the one suggested by<sup>(15)</sup> in which each word give a specific evaluation for the image.
- Excellent: An image of extremely high quality, as good as you could desire.
- Fine: An image of high quality, providing enjoyable viewing. Interference is not objectionable.
- Passable: An image of acceptable quality. Interference is not objectionable.
- Marginal: An image of poor quality; you wish you could improve it. Interference is somewhat objectionable.
- Inferior: A very poor image, but you could watch it. Objectionable inference is definitely present.
- Unusable: An image so bad that you could not watch it.
- (2) Or by using the pair comparison method where observers are shown two images (the original and the reconstructed) at a time and asked to express a preference.

$$\alpha_3 = -\alpha \quad \dots (13.d)$$

$$\alpha_4 = 1 - \alpha \quad \dots (13.e)$$

$$\alpha_5 = -2 \quad \dots (13.f)$$

$$\alpha_6 = 1 + \alpha \quad \dots (13.g)$$

$$\alpha_7 = 2 - \alpha \quad \dots (13.h)$$

as shown in figure (1.d).

In both cases (isotropic & non-isotropic) the equivalent predictive coefficients are represented in terms of the parameter ( $\alpha$ ), which can have any possible real value.

#### 4- Quality Measurement

The acceptable level of quality of any picture depends on the purpose for which the picture is intended to be used. The picture may be intended for casual human viewing as in the case of a TV images or it may be needed for precise and quantitative measurement of some sort. The types and degrees of degradation that would be acceptable or objectionable might be quite different in these two cases. There are many ways for measuring the "fidelity" of a picture  $g(x, y)$  to its original  $f(x,$

$y)$ . These methods were classified in two categories:

- 1- Objective fidelity criteria.
- 2- Subjective fidelity criteria.

#### 4-1 Objective Fidelity Criteria

In some image transmission systems some errors in the reconstructed images can be tolerated. In this case a fidelity criterion can be used as a measure of system quality. Different error measurement parameters were proposed in the literature<sup>[13, 14]</sup>, some of these parameters have been utilized in this work.

Suppose that the original image and the reconstructed image arrays are  $f(x, y)$  and  $g(x, y)$  respectively with  $M$  rows and  $N$  columns then:

- (1) The Mean Absolute Error (MAE): This parameter is defined as,

$$MAE = \frac{1}{M \cdot N} \sum_{x=0}^{M-1} \sum_{y=0}^{N-1} |g(x, y) - f(x, y)| \quad \dots (14)$$

- (2) The Mean Square Error (MSE): This parameter is defined as,

$$MSE = \frac{1}{M \cdot N} \sum_{x=0}^{M-1} \sum_{y=0}^{N-1} [g(x, y) - f(x, y)]^2 \quad \dots (15)$$

$$\alpha_3 = \frac{1}{2}(\alpha - 1) \quad \dots(10.b)$$

$$\alpha_5 = 2(\alpha - 1) \quad \dots(10.c)$$

$$\alpha_6 = \frac{1}{2}(3 - \alpha) \quad \dots(10.d)$$

These isotropic predictive coefficients are shown in figure (1.c).

### 3-1-1-2 Non-Isotropic

The non-isotropic property may implies special cases in which there is a directional biased trend in relating the brightness of point  $(x, y)$  with the adjacent points. In such a case the equations (13.a-f) are solved directly by treating  $\alpha_1$  and  $\alpha_4$  as known parameters and try to describe other parameters in terms of them. A straightforward solution will lead to

$$\alpha_2 = 1 - 3\alpha_1 - \alpha_4 \quad \dots(11.a)$$

$$\alpha_3 = -1 + 2\alpha_1 + \alpha_4 \quad \dots(11.b)$$

$$\alpha_5 = -2 + 2\alpha_1 \quad \dots(11.c)$$

$$\alpha_6 = 2 - 2\alpha_1 - \alpha_4 \quad \dots(11.d)$$

$$\alpha_7 = -\alpha_1 - \alpha_4 \quad \dots(11.e)$$

$$\alpha_8 = 1 + \alpha_1 + \alpha_4 \quad \dots(11.f)$$

By assuming  $\alpha_4 = 1 - \alpha$  the above equations could be rewritten as,

$$\alpha_2 = \alpha - 3\alpha_1 \quad \dots(12.a)$$

$$\alpha_3 = 2\alpha_1 - \alpha \quad \dots(12.b)$$

$$\alpha_4 = 1 - \alpha \quad \dots(12.c)$$

$$\alpha_5 = -2 + 2\alpha_1 \quad \dots(12.d)$$

$$\alpha_6 = 1 - 2\alpha_1 + \alpha \quad \dots(12.e)$$

$$\alpha_7 = -\alpha_1 - 1 + \alpha \quad \dots(12.f)$$

$$\alpha_8 = 2 + \alpha_1 + \alpha \quad \dots(12.g)$$

The above equation (18) show that the predictive filter coefficients depends on two parameters  $(\alpha, \alpha_1)$ , and for simplicity we will reduce the problem complexity by considering the case  $\alpha_1 = 0$ , in such a case the predictive coefficients will be,

$$\alpha_1 = 0 \quad \dots(13.a)$$

$$\alpha_7 = \alpha - 1 \quad \dots(13.b)$$

$$\alpha_2 = \alpha \quad \dots(13.c)$$

$$\begin{aligned}
 G(x,y) = & \alpha_1 G(x-2,y-2) + \alpha_2 G(x-1,y-2) + \\
 & \alpha_3 G(x,y-2) + \alpha_4 G(x-2,y-1) - \\
 & \alpha_5 G(x-1,y-1) + \alpha_6 G(x,y-1) - \\
 & \alpha_7 G(x-2,y) + \alpha_8 G(x-1,y) \\
 ... & (5)
 \end{aligned}$$

Substituting equations (4.a-I) in equation (5), we get,

$$\begin{aligned}
 G(x,y) = & \alpha_1 \{a_{00} - a_{10}(x-2) - a_{01}(y-2) + \\
 & a_{20}(x-2)^2 + a_{02}(y-2)^2 - a_{11}(x-2)(y-2)\} + \\
 & \alpha_2 \{a_{00} + a_{10}(x-1) - a_{01}(y-2) + a_{20}(x-1)^2 + \\
 & a_{02}(y-2)^2 + a_{11}(x-1)(y-1)\} \\
 & \vdots \\
 & \vdots \\
 & + \alpha_{10} \{a_{00} + a_{10}(x-1) + a_{01}y + a_{20}(x-1)^2 + \\
 & a_{02}y^2 + a_{11}(x-1)y\} \\
 ... & (6)
 \end{aligned}$$

From equation (6) we get,

$$\alpha_1 + \alpha_2 + \alpha_3 + \alpha_4 + \alpha_5 + \alpha_6 + \alpha_7 + \alpha_8 = 1 \quad ... (7.a)$$

$$2\alpha_1 + \alpha_2 + 2\alpha_3 + \alpha_5 - 2\alpha_7 + \alpha_9 = 0 \quad ... (7.b)$$

$$2\alpha_1 + 2\alpha_2 + 2\alpha_3 + \alpha_4 + \alpha_5 + \alpha_6 = 0 \quad ... (7.c)$$

$$4\alpha_1 + \alpha_2 + 4\alpha_3 + \alpha_5 + 4\alpha_7 + \alpha_9 = 0 \quad ... (7.d)$$

$$4\alpha_1 + 4\alpha_2 + 4\alpha_3 + \alpha_4 + \alpha_5 + \alpha_6 = 0 \quad ... (7.e)$$

$$4\alpha_1 + 2\alpha_2 + 2\alpha_4 + \alpha_5 = 0 \quad ... (7.f)$$

Since the number of  $\alpha$  coefficients (8) is greater than the number of the simultaneous equations (1.a-f) (6 equations), thus a number of assumptions have to be set to overcome this

problem. Different sets of assumptions may be considered for relating the value of  $G(x, y)$  with  $G$ 's values at the adjacent points.

### 3-1-1-1 Isotropic

As it is shown in figure (1.b), the values of the 8-coefficients were assumed to have a sort of symmetry around the direction ( $45^\circ$ ), i.e.

$$\begin{aligned}
 \alpha_1 &= \alpha \\
 \alpha_2 &= \alpha_4 \\
 \alpha_3 &= \alpha_7 \\
 \alpha_6 &= \alpha_8
 \end{aligned} \quad ... (8)$$

Substituting in equation (7.a-f), lead to the following equation,

$$\alpha + 2\alpha_2 + 2\alpha_3 + \alpha_5 + 2\alpha_6 = 1 \quad ... (9.a)$$

$$2\alpha + 3\alpha_2 + \alpha_3 + 2\alpha_7 + \alpha_9 = 0 \quad ... (9.b)$$

$$4\alpha + 5\alpha_2 + \alpha_3 + 4\alpha_3 + \alpha_6 = 0 \quad ... (9.c)$$

$$4\alpha + 4\alpha_2 - \alpha_5 = 0 \quad ... (9.d)$$

A straightforward solution will lead to

$$\alpha_2 = \frac{1}{2} (1 - 3\alpha) \quad ... (10.a)$$

actual pixel values should be periodically transmitted to avoid large errors.

In the literature, many predictive schemes have been designed and implemented<sup>(1, 2, 3, 4, 10, 11, 12)</sup>. In this work we have designed a new type of predictors by using polynomial function as will be shown in the following paragraphs.

### **3-1 Polynomial Predictors**

Basically, the process of 2-D linear prediction could be considered as a 2-D extrapolation method governed by a linear constraint, i.e.,

$$G_p(x, y) = \sum_{j=0}^n \sum_{i=0}^{m-1} \alpha_{ij} G(x-i, y-j) \quad \text{with } \alpha_{00} = 0 \quad \dots(3)$$

where  $G(x, y)$  and  $G_p(x, y)$  are the actual and predicted gray values at the point  $(x, y)$  respectively, while  $(m)$  and  $(n)$  represent the predictor order in horizontal and vertical directions, respectively. Geometrically smoothed surface passing through a set of points could be considered as a 2-D constraint governs the spatial behavior of the points of the set. As declarative examples, we will consider the cases of 2nd order

of 2-D polynomials.

#### **3-1-1 Second Order Polynomial Predictors**

Now if we consider the 2<sup>nd</sup> order polynomial surface (i.e., quadratic surface), passing through the adjacent points demonstrated in figure (1.a). thus, all these points satisfy the 2<sup>nd</sup> order polynomial equation, (i.e. equation 1 for n = 2),

$$G(x, y) = a_{00} + a_{10}x + a_{01}y + a_{20}x^2 + a_{02}y^2 + a_{11}xy \quad \dots(4.a)$$

$$G(x-1, y) = a_{00} + a_{10}(x-1) + a_{01}y + a_{20}(x-1)^2 + a_{02}y^2 + a_{11}(x-1)y \quad \dots(4.b)$$

$$G(x, y-1) = a_{00} + a_{10}x + a_{01}(y-1) + a_{20}x^2 + a_{02}(y-1)^2 + a_{11}x(y-1) \quad \dots(4.c)$$

$$\begin{array}{cccccccc} \cdot & \cdot & \cdot & \cdot & \cdot & \cdot & \cdot \\ \cdot & \cdot & \cdot & \cdot & \cdot & \cdot & \cdot \end{array}$$

$$G(x-1, y-1) = a_{00} + a_{10}(x-1) + a_{01}(y-1) + a_{20}(x-1)^2 + a_{02}(y-1)^2 + a_{11}(x-1)(y-1) \quad \dots(4.d)$$

According to the linear predictor definition (3), the predicted value of  $G(x, y)$  can be evaluated from the previous points, i.e.,

- 3- Select the higher 256 error frequencies.
- 4- Let FIXP = The probability of the remaining 255 errors.
- 5- Using Huffman code method, find the probability and length of the higher 256 errors being selected.
- 6- Calculate the average length as follows,
  - a- Let Long = The position of the longest code word which has the lowest probability.
  - b- For I = 0 to 255 do
    - If (FIXP > 0)
    - and
    - (Long = I) then
    - AVR=AVR+(p(I)+FIXP) \*
    - (b(I) + 1)
    - else AVR=AVR+p(I)\*
    - b(I).

where  $p(I)$  and  $b(I)$  are the probability and length of codeword associated with the input ( $I$ ).

The present paper starts with a description of polynomial representation, then the polynomial predictors are derived, and a subsection is devoted to the quality measurements and implementation mechanism being used. Finally, some experimental results are reported and discussed.

## **2- Polynomial Representation**

The mathematical formula representing 2-D polynomial of nth degree is given as<sup>(3)</sup>:

$$P_n(x,y) = \sum_{i=0}^n \sum_{j=0}^{n-i} a_{ij} x^i y^j \quad \dots(1)$$

where  $(a_{ij})$  represent the polynomial coefficients.

The number of polynomial coefficients depends on the order ( $n$ ) of the polynomial<sup>(3)</sup>,

$$N_A = \frac{(n+1)(n+2)}{2} \quad \dots(2)$$

While, the value of  $(a_{ij})$  coefficients may be calculated using any well-known polynomial fitting method.

## **3- Predictive Coding**

Since picture elements in a local region are highly correlated, one might expect that a currently considered pixel might be accurately predicted from knowledge of predicted from knowledge of previous pixels (prediction). If accurate prediction is possible, then it should not be necessary to transmit the pixel but a predictor could be placed at the receiver. Of course, some starting value might be required or some

a high frequency of occurrence, and longer codewords are given to those having low frequency of occurrence. The average length (AVR) of codewords could be calculated from,

$$\text{AVR} = \sum_{i=0}^{N-1} p(i)b(b(i))$$

where  $p(i)$  and  $b(i)$  are the probability and length of codeword associated with the input( $i$ ). This type of codes is sometimes called Entropy codes. It is suitable when the histogram of inputs shows a biased tendency toward certain values. An example of such codes is the Huffman code, which was used in this work.

The efficiency of a coding method could be estimated from the degree of closeness between its average codeword length and the actual entropy of the source generating the sequence of code inputs. This is based on the fact that first order entropy of a certain input set gives a lower bound on the average number of bits required to encode each input separately.

### Huffman Code

Huffman coding is the most

efficient entropy coding method compared with other types of coding. The average length of its codeword set is very close to the value of the first order entropy. Its code could be generated by reconstructing a suitable binary tree<sup>[8]</sup>. The roots length depends completely upon the probability of each possible input value, such that the shortest roots should correspond to inputs having the highest probability of occurrence. The disadvantage of Huffman coding lies in that a long library should be constructed when the inputs set has a long extent. In this case, the codeword of least likely inputs will be extremely long which, in turn, will impose unacceptable delay in the decoding process. In this research this problem was solved by using Huffman coding for only 256 inputs having the higher frequency. A fixed length coding method was applied to the rest of the inputs. The algorithm for finding the total average codeword length was as follows,

- 1- Calculate the quantized error histogram.
- 2- Sort the histogram in descending order.

quantizer value) is  $QE = \text{Round}(S * \text{IDX} - D)$ .

- (2) Only, the bin around zero have different width, such quantizer is called semi-uniform quantizer. The bin width is allocated according to the nature of the inputs. For example,

-If the input to the quantizer is the mapped digital image pixels themselves, then the bins width may depend on the behavior of the probability density function such that the bins are narrow in the regions of histogram shows a high probability and such mechanism will lead to non-uniform quantizers.

-If the input to the quantizer is the mapped errors between the original image and the reconstructed one, then the bins are taken wide around zero value while they should be narrow in far regions (because far regions means a high errors which may lead to unacceptable distortion). This means that errors near zero are neglected while other values are taken into consideration. This concept was adopted in this work.

The algorithm of the semi-uniform quantization applied in

our work was based on the idea of using mask slicing as a criterion for performing the wanted quantization.

1- Let  $E$  = The error value.

$T = 11111000$  in binary = 248 in decimal. Where  $T$  represents the mask that is used in the quantization operation in order to neglect the lowest three bits values of the error.

2- If  $E < 0$  then  $QE = -(E \text{ AND } T)$

else  $QE = (E \text{ AND } T)$ , where AND represents the logical AND operation and  $QE$  is the quantizer output value.

### (3) The Coding Operation

It is a one-to-one mapping process, which assign each possible input value a unique sequence of binary digits (called codeword). The coding methods could be classified into<sup>(3, 7)</sup>,

- (1) Fixed length coding in which all codewords have the same length, which is sometimes called (Natural codes).
- (2) Variable length coding it is a mapping process leads to codewords have different lengths. It depends on the probabilities of the inputs, such that short codewords are given to the inputs have

amount of fidelity be preserved.

The encoding process can be modeled as a sequence of three operations,

### (1) The Mapping Operation

It maps the original digital image data from the pixel domain into another domain, such that fewer bits are required to code the mapped digital image than would be required to code the original one. In the literature many mapping techniques have been implemented<sup>(1,2,3,4,5)</sup> (e.g. predictive mapping, interpolative mapping and transform mapping).

### (2) The Quantization Operation

The quantizer used for rounding off each mapped datum to one of a smaller of possible values so that fewer codewords with fewer bits are required<sup>(5, 6, 7)</sup>. In this research scalar quantization has been used which can be defined as follows, each input value (which is the error between the real image and the reconstructed one) is forced to one allowable output values. One way to accomplish this is to divide the input range into number of bins. The distribution of bins over the

whole range of the quantizer input (i.e. mapping outputs) was handled in two different ways:

(1) All bins are equal, such quantizer is called a uniform quantizer in which the bins width is constant. In the current work the uniform quantization algorithm was,

A- Let  $N$  = The number of the quantizer level (bins), (that may be one of the following values 5, 11 or 15).

$D$  = The quantizer range value, (that may be one of the following values 25, 30, 40, 50 or 70, 80, 100, 110, 120, 150, 160). For example, When  $D = 25$  this means that the maximum quantizer output value is 25 and the minimum quantizer output value is -25 and any value out of this range will be clipped to be in the range.

$E$  = The error value.

B- Then the number of bins on each side of the error range ( $D$ ), could be evaluated from the equation  $ND = (N-1)$  div.

C- The bins width ( $s$ ) is  $S = 2 * D / (N-1)$ .

D- The bins number which starts from 0, is  $IDX = \text{Round}((E + D) / S)$

E- The quantized error (i.e. the

## The Use of Polynomial Predictors in Image Coding

Dr. R.S. Naoum

Department of Computer Science  
Baghdad University

Dr. Luay A. Jorj

Al-Khawarizmy Company

Farah Y. Hammed

Department of Computer Science  
Baghdad University

### **Abstract**

*The objective of spatial image coding is to effectively reduce the number of bits necessary to represent a digital picture and still maintain some fidelity quality relating the pre and post coded images. In this paper, new predictive schemes have been designed and implemented. The derivation of these sets was based on certain geometrical constraints. The existence of spatial correlation between the adjacent image elements was exploited via the assumption that the values of neighbored pixels could be represented by simple 2-D relationships like (2-D polynomials). Applying such mathematical formulas to describe the spatial variation of adjacent pixel's values will imply the process of assuming a certain constraints on the spatial variation. As a consequence of these assumptions different sets of polynomial predictors were derived and implemented on different gray images. The results are encouraging using objective and subjective quality measures.*

### **I- Introduction**

Digital representations of images usually require a very large number of bits. In many applications, it is important to consider techniques for representing an image, or the information contained in the image, with fewer bits. In the terminology of information theory this is referred to a source encoding. Applications of source encoding in the field of image processing generally fall into one of three categories:

1- Image data compression.

2- Image transmission.

3- Feature extraction.

This paper concerns with the second application in which the goal is to achieve maximum reduction in the quality of data to be transmitted subject to the constraint that a reasonable

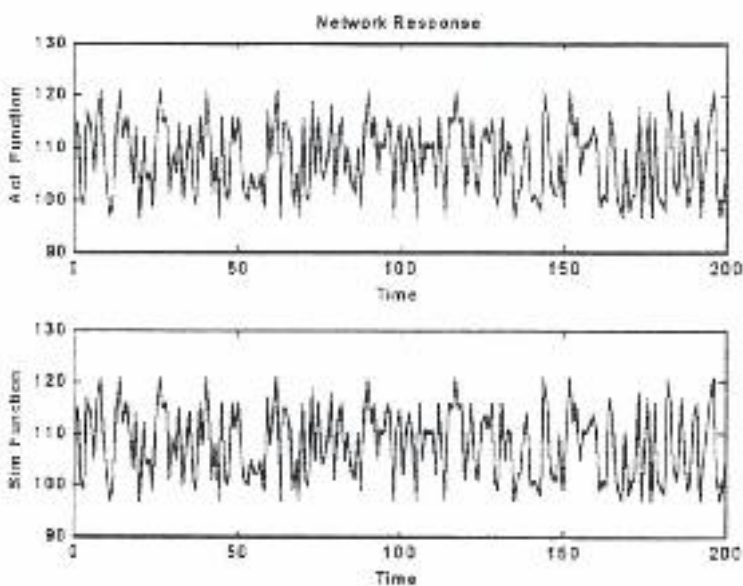


Figure (6a): Network response for actual and simulated system for BP algorithm.

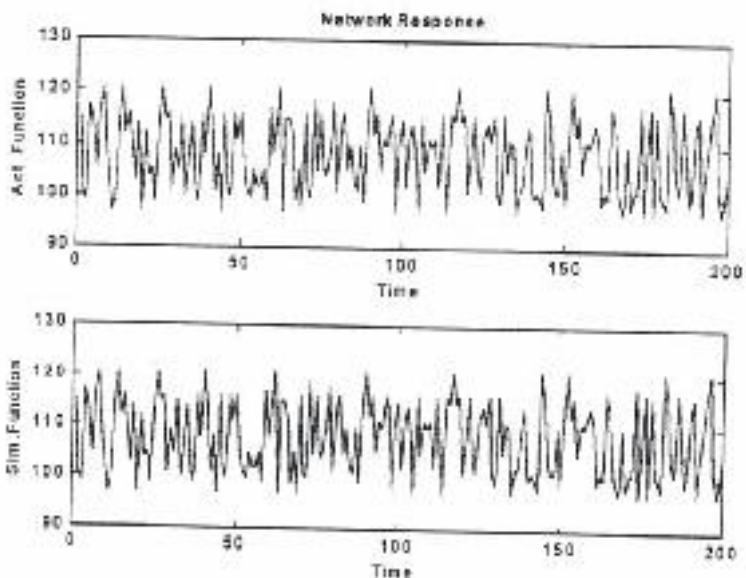


Figure (6b): Network response for actual and simulated system for LM algorithm.

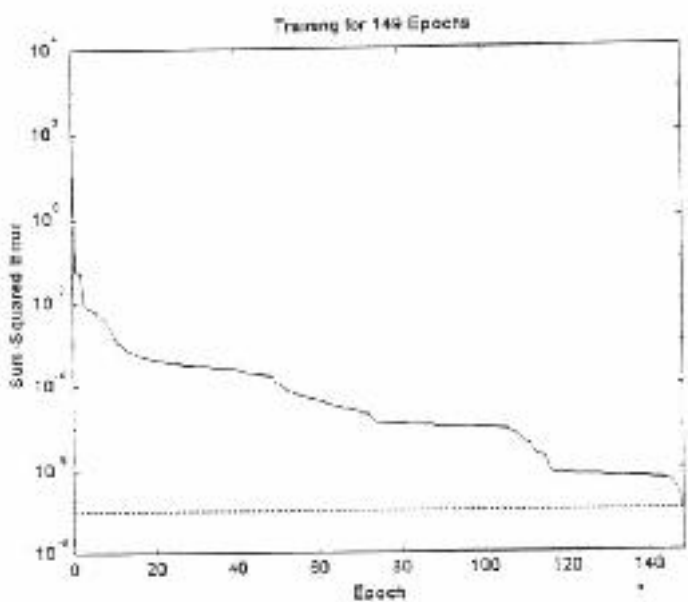


Figure (5a): LM training algorithm learning curve for simple nonlinear system with 10 nodes.

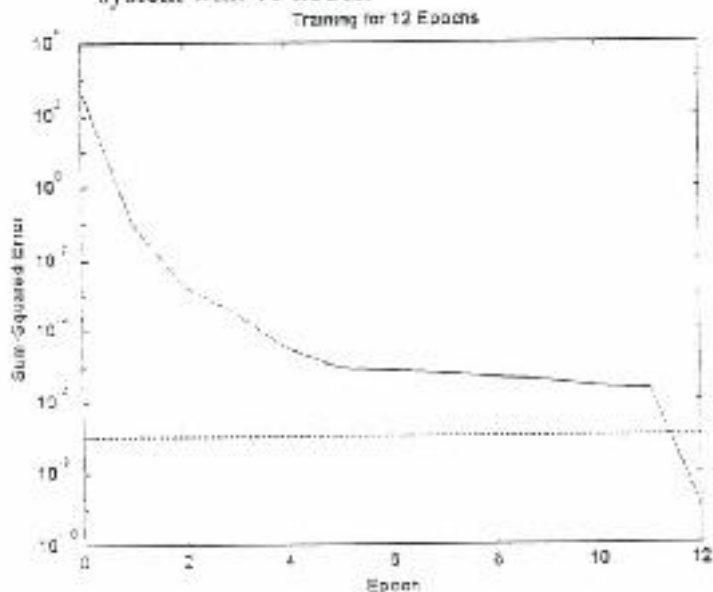


Figure (5b): LM training algorithm learning curve for simple nonlinear system with 26 nodes.

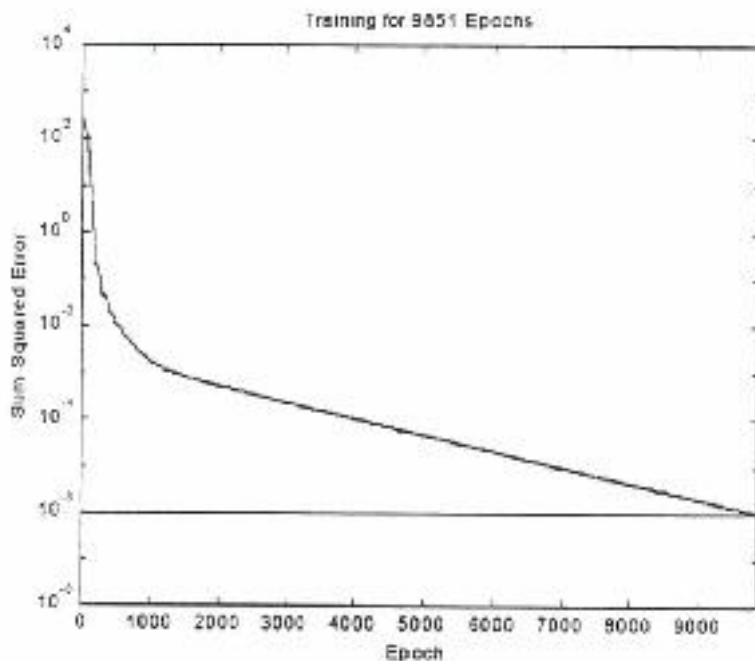


Figure (4a): BP Training algorithm learning curve for simple nonlinear system with 70 nodes.

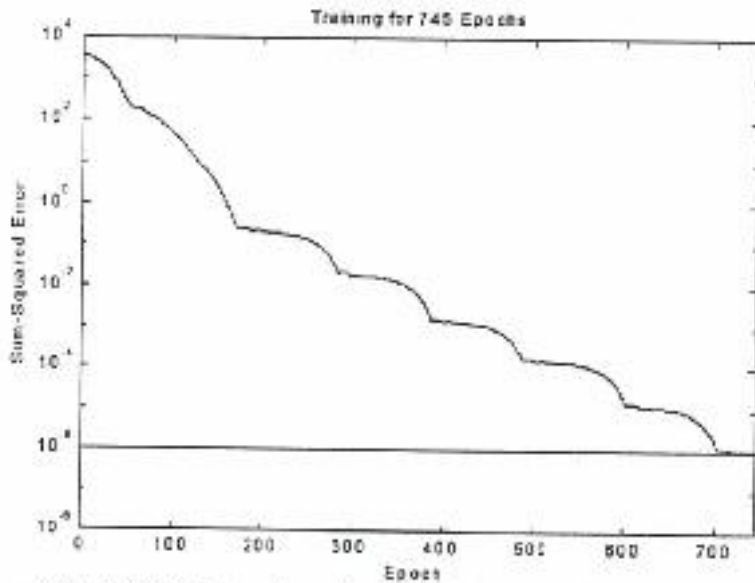


Figure (4b): BP Training algorithm learning curve for simple nonlinear function with 100 nodes.

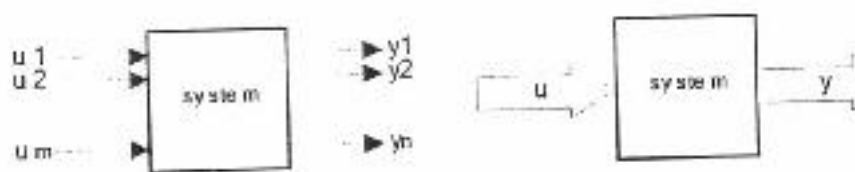


Figure (1): A system with  $m$  input and  $n$  output (black box).

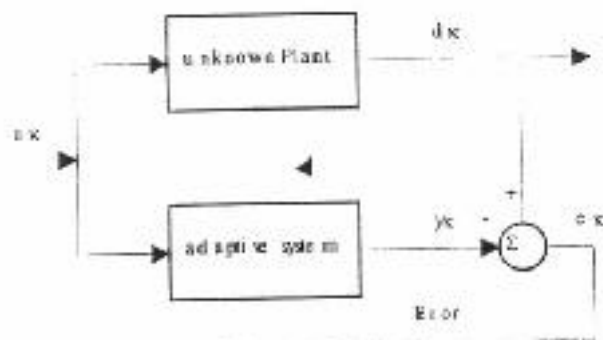


Figure (2): Adaptive system identification architecture.

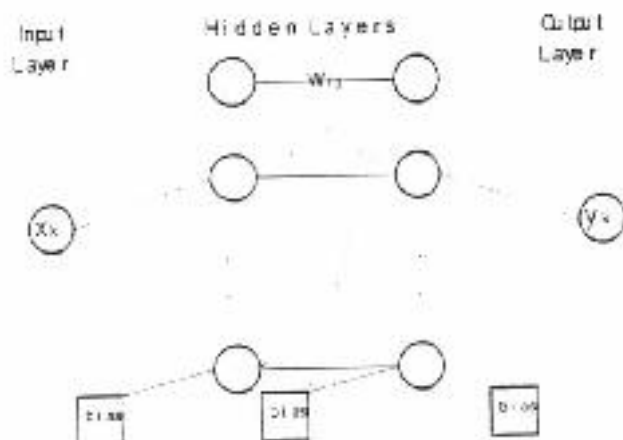


Figure (3): MLFF neural network architecture.

- 10- Lippmann, Richard P. (1987): An Introduction to Computing with Neural Nets, IEEE ASSP April 1987.
- 11- Lhung, Lennart (1987): System Identification, Theory for the user, Prentice-Hall Inc. 1987.
- 12- Morles, Eliezer C. & Neil Mort (1993): Neural Network-Based Adaptive Control Design, Journal of System Engineering, 1993.
- 13- Patterson, Dan W. (1996): Artificial Neural Networks, Theory and applications, Prentice Hall, 1996.
- 14- Tanemaru, Julio (1994): Comparative Study of Two Neural Network Approaches for Nonlinear Identification, ISSIPNN'94..
- 15- Widrow, Bernard & Samuel D. Stearns (1985): Adaptive Signal Processing, Prentice Hall Inc.
- 1985.
- 16- Widrow, Bernard & Rodney Winter (1988): Neural Nets for Adaptive Filtering and Adaptive Pattern Recognition, IEEE 1988.
- 17- Widrow, Bernard & Eugen Walach (1984): On the Statistical Efficiency of the LMS Algorithm with Nonstationary Inputs, IEEE Transaction on Information Theory, Vol. IT-30, No.2, March 1984.
- 18- Xing, Lau & Duc T. Pham (1997): Neural Networks for Identification, Prediction and Control, Springer-Verlag Ltd. 1997.
- 19- Zakhnich, Anthony & Yianni Attikiouzel (1997): A Modified Probabilistic Neural Network Signal Processor for Nonlinear Signals, DSP 97.

**Table (1):** Illustrate number of nodes (neurons) of hidden layer, number of epochs\*, number of flops\*\*, and execution time of different networks and training algorithms.

Training Algorithm	No. of Nodes	No. of Epochs	No. of Flops	Execution time
1 BP	70	9851	$4.238 \times 10^5$	$1.927 \times 10^{-3}$
2 BP	100	668	$4.171 \times 10^5$	$1.7 \times 10^{-3}$
3 LM	10	149	$4.38 \times 10^5$	9.7
4 LM	26	12	$1.197 \times 10^5$	1.7

\* Epoch: One cycle through the entire set of training vectors.

\*\* Flops: Floating Point Operation counts. Additions and Subtractions are counted one flop if real, and two flops if complex. Multiplications and Divisions counted one flop if the result is real and six flops if it is not.

- system to any degree of accuracy. Figure (6a) and Figure (6b) shows complete similarity between the unknown system (actual) and the simulated system.
- 3- LM training algorithm has been proved experimentally to be more effective in MLFF networks training especially for large degree of accuracy. More over it can converge even with less hidden neurons than the optimal number, but with much more epochs.
- 4- The critical point in designing MLFF networks is the choice decision of the number of neuron in the hidden layers. Clearly there is an optimal number on which training algorithm can reach the desired accuracy in optimal time. However if the number of neurons of the hidden layers is below the optimal number, more epochs will be needed to converge the desired accuracy. The golden rule is that; do not rock the boat any more. Increasing the hidden layer neurons will give more flexibility to simulate the underlying mapping.

### References

- 1- Bulsari, A. B. & S. Palosaari (1993): Application of Neural Networks for System Identification of an Adsorption Column, *Neural Comp. & Applic.* 1993.
- 2- Castellano, Giovanna, Anna Maria F. & Marcello M. Pelillo (1997): An Iterative Pruning Algorithm for Feed-forward Neural Networks, *IEEE Trans. On NN*, Vol.8 No.3 May 1997.
- 3- Chen, Chi-Tsong (1984): *Linear System Theory and Design*, Holt-Saunders 1984.
- 4- Chu, S. Reynold, Rahmat Shoureshi, & Manoel Tenorio (1990): *Neural Networks for System Identification*, IEEE 1990.
- 5- Cinar, Ali (1996): Nonlinear Time Series models for multivariable dynamic processes.
- 6- Fantini Jacques & Robert Laurent (1996): Definition of Mathematical Concepts for Computation of Linear and Nonlinear System Models, *ICCTA'96*.
- 7- Ghanadan, R. & G. L. Blankenship (1993): Adaptive Control of Nonlinear System via Approximate Linearization, Technical report, Institute for systems Research, 1993.
- 8- Kim, Sung-Woo & Ju-Jang Lee (1993): Unknown Parameter Identification of parameterized System Using Multi-Layered Neural Networks, *IEEE* 1993.
- 9- Korze Danilo, Damjan Zazula & Bozidar P. (1997): A Method for MISO Systems Identification Using Third-Order Cumulants, *DSP 97*.

The learning rate  $\eta$  is varying according to the value of error before and after updating the parameters in each iteration<sup>(1)</sup>. One of the advantages of LM is that; not all the iterations in LM algorithm are used to update the network's parameters. Just the iteration which decreases the error is used in updating the network's parameters. Therefore, the error will never increase through the learning process, and hence we will have a stair-like performance surface.

Simulation results showed that, LM training algorithm could reach any degree of accuracy with more epochs.

#### **4- Experiment Results**

Experiment results shows that LM training algorithm is much more powerful than BP training algorithm in terms of convergence time and number of neurons in the hidden layer needed to approximate the underlying function (transfer function of the unknown system).

Figure (4a) shows that the BP algorithm took (9851) epochs\* to reach the error goal of ( $10^{-6}$ ) with (70) nodes, while it took (668) epochs to reach the

same error goal with (100) nodes, as shown in Figure (4b).

Figure (5a) shows that the LM algorithm took (149) epochs to reach the error goal of ( $10^{-7}$ ) with (10) nodes, while it took (12) epochs to reach the same error goal with (26) nodes as shown in Figure (5b).

Also it is shown that learning curve of LM training algorithm has stair like shape, that is because the algorithm decreases the error in each epoch, while in BP algorithm the learning curve is vibrated around descending line, because of the instability of the error surface.

#### **5- Conclusions**

- 1- Black box identification models are often used when no information was available about the system except its input and output. This constraint becomes very sever for nonlinear systems, and make Black Box models the only choice and most promising model.
- 2- Neural networks have shown more capabilities in nonlinear systems identification over the conventional adaptive algorithms. With a good approximation algorithm we can identify the unknown

layers, variable learning rate, momentum term, and dynamic backpropagation<sup>(13)</sup>, with the addition of error approximation for nonlinear systems<sup>(6)</sup>. Those enhancements with no doubt, have increase the efficiency and the convergence speed of the algorithm. For these reasons BP algorithm have been used efficiently for many linear systems and some simple nonlinear systems identification problems. The weight adaptation in BP is given by:

$$\Delta W_{ij}(k+1) = \eta \delta_{ui} + \rho \Delta W_{ij}(k)$$

where:

$\Delta W$ : Correction matrix of weights.

$\rho$ : Momentum term.

$\delta$ : Portion of error correction due to BP of error.

$\eta$ : Learning rate.

$\mu$ : Input training vector.

Among the difficulties of BP algorithm in nonlinear systems are; long training sequences, large quantities of computing time, lack of convergence due to local minima plateaus and differentiability requirement for nonlinear activation functions<sup>(12)</sup>.

However, it was shown

experimentally (our own results) that it is not a proper choice for complicated nonlinearity, especially when a high degree of accuracy is needed. Also, the experimental work showed that; BP can converge more rapidly and even avoid local minima if we increase the number of neurons in the hidden layer.

### **3-2-2 Levenberg-Marquardt Algorithm (LM)**

Levenberg-Marquardt (LM) is a training algorithm used to train MLFF networks based on linear optimization technique at minimizing the sum of squares of error (SSE)<sup>(7)</sup>. The search direction for the LM algorithm is defined by:

$$\Delta X = (J^T J + \eta I) . (-J^T s)$$

where:

$J^T$ : Jacobean matrix of proper dimension.

$J^T J$ : Covariance matrix of proper dimension.

$\Delta X$ : Correction matrix of proper dimension.

$\eta$ : Learning parameter  $\eta \geq 0$ .

$I$ : Identity matrix.

$s$ : Difference between net output and desired output.

### **3-1 Neural Network Architecture**

The neural identifier consists of a multilayer feed-forward network (MLFF). The term multilayer involves a set of input neurons, connected to a set of output neurons by means of one or more sets of intermediate neurons, all or some of the neurons with variable interconnection weight. Each set of neurons is topologically distributed in a layer-like configuration, with the neuron outputs of one layer connected to some or all of the neuron inputs of the successive layer. The network considered in this paper, consists of one hidden layer with nonlinear activation function (sigmoid have been used) with the addition to the input and output layers.

A weighted bias is used with the hidden and output layers to smoothen the adaptation of the connection weights. Figure (3) illustrate the structure of the multilayer feed-forward network considered in this paper.

The size of the neural network (number of neurons in the hidden layer) is crucial in designing the whole structure. There is no mathematical formulation to calculate the optimal size of such networks,

however, too many free units will learn faster, avoid local minima, and exhibit a better generalization performance. Some theoretical studies shows that, FFML networks with a number of hidden units equals the number of training examples is guaranteed to have no local minima<sup>(2)</sup>.

### **3-2 Training Algorithms**

Supervised training algorithms are commonly used to train feed-forward networks. All algorithms should have the capability to adapt (change) the network connection weight in such away to minimize the output error according to some performance criterion. In this paper we will discuss two types of training algorithms; Back Propagation (BP), and Levenberg-Marquardt (LM).

#### **3-2-1 Back Propagation Algorithm (BP)**

The Back propagation algorithm (BP) is the most commonly training algorithm used in the training of multilayer feed-forward networks (MLFF). Since its invention, BP algorithm has been enhanced by adding several choices of design; such as number of

arbitrary concepts or mapping between concepts<sup>(13)</sup>. The interconnections of all the processing elements and directions of signal flows within the network proved essential information on the basic system architecture. The input links connected to each cell C, usually have an associated weight  $W_{ij}$  which is a measure of the influence that an output cell C or input stimulates has on the cell. Weights on the connection between two layers or groups of cells are specified by weight matrices W. Such matrices completely determine the connectivity of networks and the direction of signal propagation. The values of weights on all interconnecting links correspond to neural synapse parameters. The established network stored distributed knowledge. In general, weights are real valued numbers that can be modified through a learning process. The general learning program then is to find a weight matrix W that satisfies the vector equations:

$$Y_p = F(X_p, W)$$

For all input patterns  $X_p$ ,  $p = 1, 2, 3, \dots, p$ , where the vector function F is a nonlinear

function.

The ultimate test of performance for any network is the network's ability to accurately produce an output  $y$  that agrees with a target value  $d$  (desired value). In other meaning, to construct a good estimator of the underlying mapping, function F, Which maps vector patterns from n-dimensional space to vector patterns in m-dimensional space:

$$F: R^n \rightarrow R^m$$

The purpose of the network is to establish the required mapping or at least approximates it to some desired accuracy. System identification using neural networks, is then a problem of finding some weights matrices that represent the transfer function of the unknown system<sup>(9)</sup>.

Recent research has demonstrated that neural networks are effective in the identification of dynamic system. It is also concentrated that identification of nonlinear dynamic systems is difficult for conventional theories to deal with<sup>(1,18)</sup>.

$$\begin{aligned}\xi = & \mathbb{E}[e_k^2] = \mathbb{E}[d_k^2] - 2\mathbb{E}[d_k X_k^T]W + W^T \mathbb{E}[XX^T]W \\ & - \mathbb{E}[d^2] - 2P^T W + W^T RW\end{aligned} \quad \dots (13)$$

where

$$P = \mathbb{E}[d_k X_k^T]$$

Cross correlation vector.

$$R = \mathbb{E}[X X^T]$$

Input correlation matrix.

The gradient ( $\nabla$ ) of the mean square-error performance surface can be obtained by:

$$\begin{aligned}\nabla = & \frac{\partial \xi}{\partial \theta_j} = \left[ \frac{\partial \xi}{\partial \theta_0} - \frac{\partial \xi}{\partial \theta_1} \cdots \frac{\partial \xi}{\partial \theta_k} \right]^T \\ & = 2RW - 2P\end{aligned} \quad \dots (14)$$

If  $W$  is set to its optimal value ( $W^*$ ), which satisfies equation (9), then:

$$\nabla = 0 = 2RW^* - 2P$$

$$W^* = R^{-1}P \quad \dots (15)$$

Multiply (14) by  $(1/2 R^{-1})$

$$1/2 R^{-1} \nabla = W - R^{-1}P$$

Combining (14 & 15)

$$W^* = W - 1/2 R^{-1} \nabla \quad \dots (16)$$

We change (16) into adaptive algorithm as follows:

$$W_{k+1} = W_k - \mu R^{-1} \nabla_k \quad \dots (17)$$

where  $\mu$  is a constant to regulate the convergence (learning rate) and  $(R^{-1} \nabla_k)$  is the adaptive algorithm or learning algorithm which is used to adapt the coefficients (weights) in order to achieve the constraints of equation (9) as shown in figure (2)<sup>(17)</sup>.

### 3- Artificial Neural Networks

Every ANN is composed of a set of n simple neural computing elements. Functionally, there are three types of cells organized into layers, input, output, and interior or hidden cells. Input cells are connected to some form of external stimuli, which produce input signals. The input signals are denoted by the n-dimensional vector  $X$ . The input typically corresponds to a set of objects feature values. Output cells produce an output signal vector  $V$  of m dimensions. Interior cells are connected to either input, output or other interior cells. When they receive inputs, these cells compute values that are then passed on to the other cells for further processing. In general these cells compute values that relate to

If the system is linear and time invariant equation (5 & 6) becomes<sup>(15)</sup>:

$$x(k+1) = Ax(k) + Bu(k) \quad \dots (7)$$

$$y(k) = Cx(k) \quad \dots (8)$$

where A, B and C are (nxn), (nxp) and (mxn) matrices.

### 2-3 Identification and Adaptation Theory

The central concept in identification problems is identifiability. The problem is whether the identification procedure will yield a unique value of the parameter ( $\theta$ ), and/or whether the resulting model (M) is equal to the true system<sup>(16)</sup>. In other meaning, a model structure is globally identified at ( $\theta^*$ ) if:

$$M(\theta) = M(\theta^*) \quad \dots (9)$$

The objective of system identification (black box) is to find the transfer function ( $f$ ) of the unknown system that can maps the given input signals ( $u_k$ ) into an estimated output signals ( $y_k$ ) with an error signal ( $e_k$ ), in correspondence to some desired signal ( $d_k$ ) such that:

$$e_k = d_k - y_k \quad \dots (10)$$

Consider a physical dynamic, which may be regarded as unknown system "Black Box" having single input ( $u_k$ ), and single output ( $y_k$ ), as described in equation (4). If we can find a set of coefficients (weights W) that replaces matrices A, and B then equation (4) can be rewritten as:

$$y_k = W_k X_k^T \quad \dots (11)$$

$$\text{where } W_k = [w_{0k} \ w_{1k} \ \dots \ w_{nk}]^T$$

$$X_k = [x_{0k} \ x_{1k} \ \dots \ x_{nk}]^T$$

Substituting in (10)

$$e_k = d_k - W_k X_k^T \quad \dots (12)$$

The objectives of the adaptation process is to seek the minimum of the performance surface by adjusting the weights (matrices of coefficients) so that the error single minimized or disappeared according to some criterion performance (mean square error)<sup>(15,16)</sup>.

The expected mean square error (mse):

$$y(k) = \alpha_1 y(k-1) + \alpha_2 y(k-2) + \dots + \alpha_n y(k-n) \\ + \beta_1 u(k-1) + \beta_2 u(k-2) + \dots + \beta_m u(k-m) \quad \dots(2)$$

where  $\alpha_i$  ( $i = 1, 2, \dots, n$ )  
and  $\beta_j$  ( $j = 1, 2, \dots, m$ )  
are real constants.

Equation (2) can be rewritten in matrix notation:

$$y(k) = \sum_{i=1}^n \alpha_i y(k-i) + \sum_{j=1}^m \beta_j u(k-j) \quad \dots(3)$$

For multi-input multi-output (MIMO) and multi-input single-output (MISO)<sup>(19)</sup>, equation (3) can be rewritten as

$$y(k) = \sum_{i=1}^n A_i y(k-i) + \sum_{j=1}^m B_j U(k-j) \quad \dots(4)$$

where  $A_i$  and  $B_j$  are  $(mxn)$  and  $(mxp)$  matrices respectively.

## 2-2 The State-Space Description

The input-output description of a system is applicable only when the system is initially relaxed. If the system is not initially relaxed, say at time  $k_0$ , then equation (1) does not hold. In this case the output  $y(k_0, \infty)$  depends not only on the input  $u(k_0, \infty)$  but also on the initial conditions at  $k_0$ . Hence in order to determine the output  $y(k_0, \infty)$

uniquely, in addition to the input  $u(k_0, \infty)$  we need a set of initial conditions at  $k_0$ . This set of initial conditions is called the state at  $k_0$ . Hence the state at  $k_0$  is the information that together with the input  $u$  determines uniquely the output  $y$  (the behavior of the system) for all  $k \geq k_0$ . By the behavior we mean that, the responses including the state of the system. We describe the relations between the input, output, and the state by the following set equations (dynamical equation)<sup>(3,11)</sup>:

$$x(k+1) = \phi(x(k), u(k)) \text{ state equation (5)}$$

$$y(k) = \psi(x(k), u(k)) \text{ output equation (6)}$$

where

$x(k) = [x_1(k), x_2(k), \dots, x_n(k)]^T$   
is a state vector of the system.

$u(k) = [u_1(k), u_2(k), \dots, u_p(k)]^T$   
is the system input vector.

$y(k) = [y_1(k), y_2(k), \dots, y_m(k)]^T$   
is the system output vector.

$\phi, \psi$  are static nonlinear mapping.

The dynamical equation describes not only the relationship between the input and output but also the behavior inside a system under any initial condition, and hence it characterizes a system completely.

output models and state-space models.

Input-output model is much less expensive to develop, besides it is the only choice if no knowledge is available about the system except its input and output<sup>(3,11)</sup>.

There are well established techniques for linear input-output model development, however, non-linear systems is not quite easy and depends on the type of non-linearity in the data. The task of system identification is to find suitable mappings, which can approximate the mappings implied in a dynamic system. When input-output data are used, the dynamic system is defined by function  $f$  (transfer function) and integers  $m$  and  $n$  (order of the system).

## 2-1 Input-Output Description

The input-output description of a system gives a mathematical relation between the input and output of the system. In developing this description, the knowledge of the internal structure of a system may be assumed to be unavailable to us; the only access to the system is by means of the input and output terminals. Under this

assumption, a system may be considered as a "black box" as shown in Figure (1). Clearly what we can do to a black box; is to apply all kinds of input and measure their corresponding outputs, and then try to abstract key properties of the system from these input-output pairs<sup>(3,10)</sup>.

An input-output model assumed that the new system output can be predicted by the past inputs and outputs of the system. If the system is supposed to be deterministic, relaxed, time invariant, single input-single output (SISO), then the input-output model can be represented by<sup>(18)</sup>:

$$\begin{aligned} y(k) = f(y(k-1), y(k-2), \dots, y(k-n), \\ u(k-1), u(k-2), \dots, u(k-m)) \end{aligned} \quad \dots(1)$$

where  $u(k)$ ,  $y(k)$  represent the input-output pairs of the system at time  $k$ ,  $n$  and  $m$  are the number of past output and the number of past inputs,  $f$  is a nonlinear function which maps the past inputs and outputs to a new outputs, also called "transfer function". If a system is linear  $f$  is a linear function, and equation (1) can be rewritten as:

algorithm<sup>(10,15)</sup>. Artificial neural networks possess several properties that make them particularly attractive for applications to modeling and control of complex nonlinear systems. Among these properties are their universal approximation ability, their parallel network structure and the availability of on and off-line learning methods for the interconnection weights adaptation.

A neural network is capable of learning nonlinear input-output mapping based on historical database of the system, without the need to predetermined the structure of its dynamic equations (black-box modeling). The conventional identification theory has been proved to be efficient in modeling linear systems, however, it failed to formulate definite strategy to deal with nonlinear systems<sup>(4,5)</sup>. On the other hand networks have been proved to be efficient in identifying and controlling nonlinear systems<sup>(13,14)</sup>. The main advantages of neural networks over conventional identification methods include simplicity of implementation and good approximation methods.

In this paper we will present

the theoretical background of the system identification problem, then mathematical formulation of the adaptation theory is presented. Also, we discuss the structure of neural network identifier, then experimental work of nonlinear system identification with results and conclusions based on implementing two different training algorithm are discussed.

## 2- System Identification

The identification theory is to determine the characteristics of a system so as to construct a mathematical model from given input and output sets. Mathematical models are the most useful in this field. To build a mathematical model of a system, one can use the physical laws that govern the systems behavior. Alternatively one can observe the signals produced by the system to known inputs and find a model that best produces the observed data. The former is called modeling, the later is called identification<sup>(11)</sup>.

Identification is necessary when there is not sufficient information about the system for it to be accurately modeled. Systems can be described by two types of models, input-

## Nonlinear System Identification Using Neural Networks

Dr. Wasim A.K. Al-Hamday

Department of Computer Science,

University of Technology,

Baghdad-Iraq.

Mahmood Khalel Ibrahim Al-Ubaidy

Department of Computer Science,

University of Technology,

Baghdad-Iraq.

### **Abstract**

*Neural networks have a good potential for system identification and modeling due to its capabilities in approximation of nonlinear functions and learning system characteristics through nonlinear mapping. In this paper we will discuss the theoretical background of system identification and adaptation theory. We present a MLFF neural network used for nonlinear system identification. Neural network structure and learning algorithms used in the experimental work also presented. Finally we discuss the results and the conclusion of the experimental work.*

### **1- Introduction**

Since the last decade there has been a renewed growing interest of research in the area of artificial neural networks, motivated by new network paradigms, improved learning algorithms, and ever increasing computational capabilities. This has lead to the application of neural networks in divers areas such as; pattern recognition, speech processing, signal processing, system identification, and control engineering.

Artificial neural networks consist of many interconnected working in parallel, nonlinear processing units (neurons or nodes) arranged in layers. The strength of connection between neurons (weights) is adjusted during the training process using an appropriate learning

## Contents

### 1- English Section:

Contents	Page No.
- Nonlinear System Identification Using Neural Networks Dr. Wasim A.K. Al-Hamday	3
- The Use of Polynomial Predictors in Image Coding Dr. R.S. Naoum Dr. Luay A. Jori Farah Y. Hameed	19
- A Genetic Algorithm Approach for Solving Flow Shop Problem Dr. R.S. Naoum Dr. Hisham Al-Rawi Bushynna F. Abid	36

### 2- Arabic Section:

رقم الصفحة	المحتويات
٤	- اخلاقيات الحصول في مجال تبادل المعلومات د. هلال عبود قفي اليهاني
١٢	- منظومة للتحكم بوحدات للسيطرة موزعة على مساحة واسعة فائز خليل عبد الواحد
٢١	- الارتباط بطريق المعلومات فائق السرعة د. جعفر جوادير الحديشي

# COMPUTERS JOURNAL

Computers Refereed Scientific Journal

---

---

Vol. No. 37

---

---

Issued By The National Computer Center Periodically

---

---

## Editorial Board of The Journal

Chief:	Dr. Hilal A. Al-Bayati
Director:	Mr. Faiz K. Abid Al-Ahad
Members:	Prof. Akram Uthman Dr. Ahmed Maki M. Saeed Dr. Jubair J. Al-Hadithi Dr. Abbas Fadhil A. Kadher Dr. Hilal M. Yousif Dr. Ala H. Al-Hamami Dr. Riyadh Shaker Naoum Dr. Wasim A. Al-Hamadani Dr. Ali S. Sahar

---

**Correspondence:**  
Chief of Editorial Board,  
Journal of Electronic Computers,  
Ministry of Higher Education and  
Scientific Research,  
P.O.Box 3261, Sadoun-Baghdad-IRAQ

**Annual Membership:**  
10000 I.D. for Gov. Establishments  
& individuals - inside Iraq.  
25 U.S.D. for Gov. Establishments  
& individuals - outside Iraq.

Ministry of Higher Education & Scientific Research  
National Computer Center

**COMPUTERS  
JOURNAL**

Computers Refereed Scientific Journal

Vol. No. Thirty Seven 1420H - 2000A

---

372300 | **Computers  
Journal** | Issued By The National Computer Center Periodically

---

رقم الارشاد في المكتبة الوطنية ٣٠٤ لسنة ١٩٧٧